

2018

Weekly / Semanal **Influenza Report EW 42/ Reporte de Influenza SE 42**

Regional Update: Influenza & Other Respiratory Viruses /
Actualización Regional: Influenza y Otros virus respiratorios



**October 30, 2018
30 de Octubre de 2018**

*Data as of October 26, 2018/
Datos hasta 26 de octubre de 2018*

*Prepared by PHE/IHM/Influenza Team/
Realizado por PHE/IHM/Equipo de Influenza*

Countries reporting to FluD
Paises que reportan a FluD



Countries Reporting to FluNet
Paises que reportan a FluNet



Map Production /Producción del mapa: PAHO/WHO, OPS/OMS.

Data Source /Fuente de datos:

Ministries of Health and National Influenza Centers of Member States Reports to the informatics global platforms [FluD](#) and / Informe de los Ministerios de Salud y los Centros Nacionales de Influenza de los Estados Miembros a las plataformas informáticas globales de [FluD](#) y [FluNet](#)

[Go to Index/](#)
[Ir al Índice](#)

WEEKLY REPORT DATA SOURCES

The information presented in this update is based on data provided by Ministries of Health and National Influenza Centers of Member States to the informatics global platforms
http://www.who.int/influenza/gisrs_laboratory/flunet/en/
and http://www.who.int/influenza/surveillance_monitoring/fluid/en/ ;
and reports/weekly bulletins that Ministries of Health published on its website or shared with PAHO/WHO.

La información presentada en esta actualización se obtiene a partir de los datos notificados por los Ministerios de Salud y los Centros Nacionales de Influenza de los Estados Miembros a las plataformas informáticas globales de la OPS/OMS: [FluNet](#) y [Fluid](#); y de los informes/boletines semanales que los Ministerios de Salud publican en sus páginas web o comparten con OPS/OMS.

PAHO INFLUENZA LINKS

PAHO interactive data / Datos interactivos de la OPS:

PAHO FluNet: http://ais.paho.org/php/viz/ed_flu.asp

PAHO Fluid: <http://ais.paho.org/php/viz/flumart2015.as>

Influenza Regional Reports / Informes regionales de influenza:

In English: <http://www.paho.org/influenzareport>

En español: www.paho.org/reportesinfluenza

Severe acute respiratory infections network - SARInet
Red de las infecciones respiratorias agudas graves - SARInet:

<http://www.sarinet.org>

[Go to Index/](#)
[Ir al Índice](#)

REPORT INDEX

ÍNDICE DE LA ACTUALIZACIÓN

| Section | Content | Page |
|---------|---|------|
| 1 | <u>Weekly Summary / Resumen Semanal</u> | 5 |
| 2 | <u>Overall Influenza and RSV circulation / Circulación general de los virus influenza y VSR</u> | 6 |
| 3 | <u>Weekly and Cumulative numbers / Números semanales y acumulados</u> | 7 |
| 4 | <u>Epidemiological and Virologic update by country / Actualización epidemiológica y virológica por país</u> | 8 |
| 5 | <u>Acronyms / Acrónimos</u> | 31 |

WEEKLY SUMMARY (ENGLISH)

North America: Overall, influenza activity continued at low levels in [Canada](#) and the [United States](#), with influenza A(H1N1)pdm09 and B co-circulating. In [México](#), increased influenza and SARI activity was reported with influenza A(H1N1)pdm09 predominating.

Caribbean: Influenza virus activity decreased, and low RSV activity was reported throughout most of the sub-region. In [Cuba](#), [Haití](#) and [Dominican Republic](#), influenza A(H1N1)pdm09 circulation was associated with decreased SARI activity.

Central America: Epidemiological indicators remained at moderate levels and influenza circulation was reported to increase throughout the sub-region. In [Panama](#) and [Guatemala](#) RSV circulation continued elevated. In [Costa Rica](#), [El Salvador](#) and [Nicaragua](#), increased influenza A(H1N1)pdm09 circulation was reported.

Andean Region: Overall influenza and other respiratory virus activity decreased in the sub-region. SARI and influenza activity decreased in [Bolivia](#). In [Perú](#), influenza A(H1N1)pdm09 and SARI activity began to decrease with increased RSV detections. In [Venezuela](#), influenza A(H1N1)pdm09 predominated.

Brazil and Southern Cone: Influenza activity decreased at the seasonal levels throughout most of the sub-region and peaked later in [Paraguay](#), [Argentina](#) and [Uruguay](#). In [Brazil](#), influenza-associated SARI cases decreased associated with influenza A(H1N1)pdm09 detections. In [Paraguay](#), [Chile](#) and [Uruguay](#), SARI activity remained elevated related to co-circulation of influenza A(H3N2) and B.

Global: In the temperate zone of the northern hemisphere influenza activity remained at inter-seasonal levels. Increased influenza detections were reported in some countries of Southern and South-East Asia. In the temperate zones of the southern hemisphere, influenza activity appeared to decrease overall. Worldwide, seasonal influenza subtype A viruses accounted for the majority of detections.

RESUMEN SEMANAL (ESPAÑOL)

América del Norte: En general, la actividad de influenza continuó en niveles bajos en [Canadá](#) y los [Estados Unidos](#), con co-circulación de A(H1N1)pdm09 y B. En [México](#), se reportó mayor actividad de influenza e IRAG con predominio de influenza A(H1N1)pdm09.

Caribe: La actividad de influenza disminuyó y se reportó una actividad disminuida de VSR en la mayoría de la subregión. En [Cuba](#), [Haití](#), and [Dominican Republic](#) la circulación de influenza A(H1N1)pdm09 se asoció con menor actividad de IRAG.

América Central: Los indicadores epidemiológicos permanecieron en niveles moderados y la actividad de influenza presentó un aumento en la sub-región. En [Panamá](#) y [Guatemala](#) la circulación de VSR continuó elevada. En [Costa Rica](#), [El Salvador](#) y [Nicaragua](#), se reportó circulación aumentada de influenza A(H1N1)pdm09.

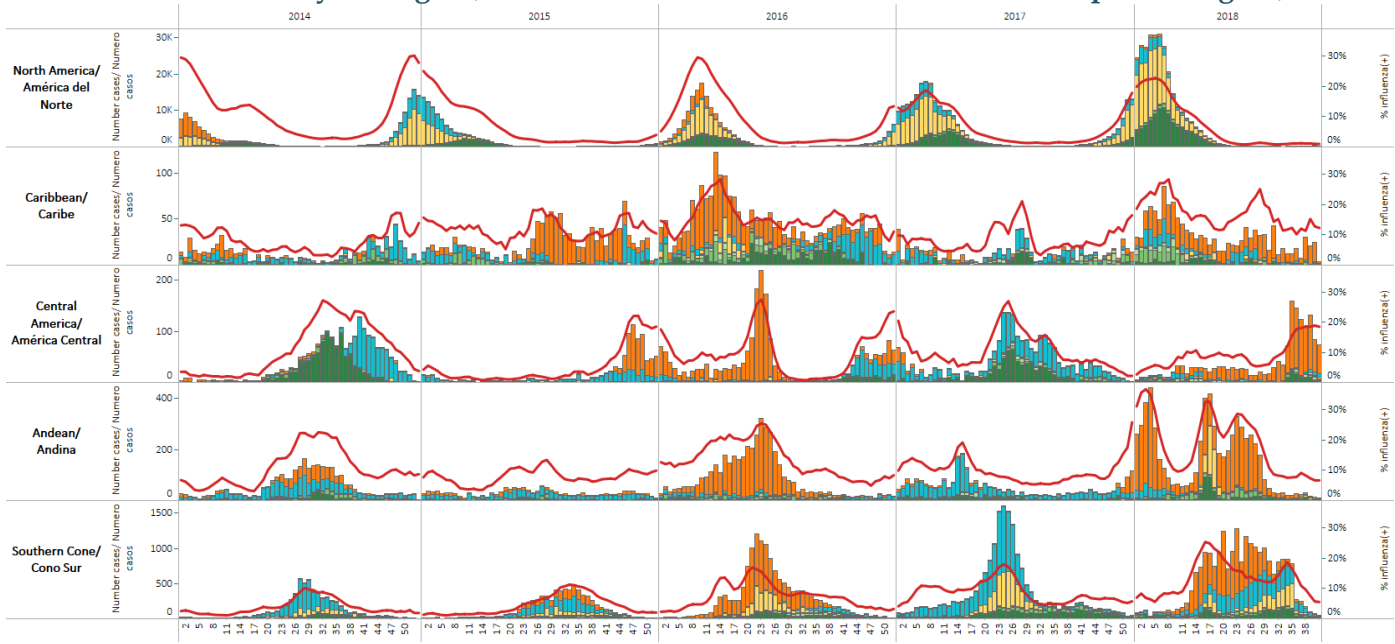
Sub-región Andina: La actividad general de influenza y otros virus respiratorios disminuyó en la sub-región. La actividad de IRAG e influenza disminuyó en [Bolivia](#). En [Perú](#), la actividad de influenza A(H1N1)pdm09 e IRAG comenzó a disminuir con mayores detecciones de VSR. En [Venezuela](#), predominó influenza A(H1N1)pdm09.

Brasil y Cono Sur: Los niveles de influenza disminuyeron a niveles estacionales en toda la sub-región y alcanzó su pico tardío en [Paraguay](#), [Argentina](#) y [Uruguay](#). En [Brasil](#), los casos de IRAG asociados a influenza disminuyeron con detecciones de influenza A(H1N1)pdm09. En [Paraguay](#), [Chile](#), y [Uruguay](#), la actividad de IRAG permaneció elevada en relación a co-circulación de influenza A(H3N2) y B.

Global: En la zona templada del hemisferio norte, la actividad de influenza se mantuvo en niveles interestacionales. En algunos países de Asia meridional y sudoriental se notificó un aumento de las detecciones de influenza. En las zonas templadas del hemisferio sur, la actividad de influenza pareció disminuir en general. En todo el mundo, los virus de subtipo A de influenza estacional representaron la mayoría de las detecciones.

Influenza circulation by subregion, 2014-18

Circulación de virus influenza por subregión, 2014-18



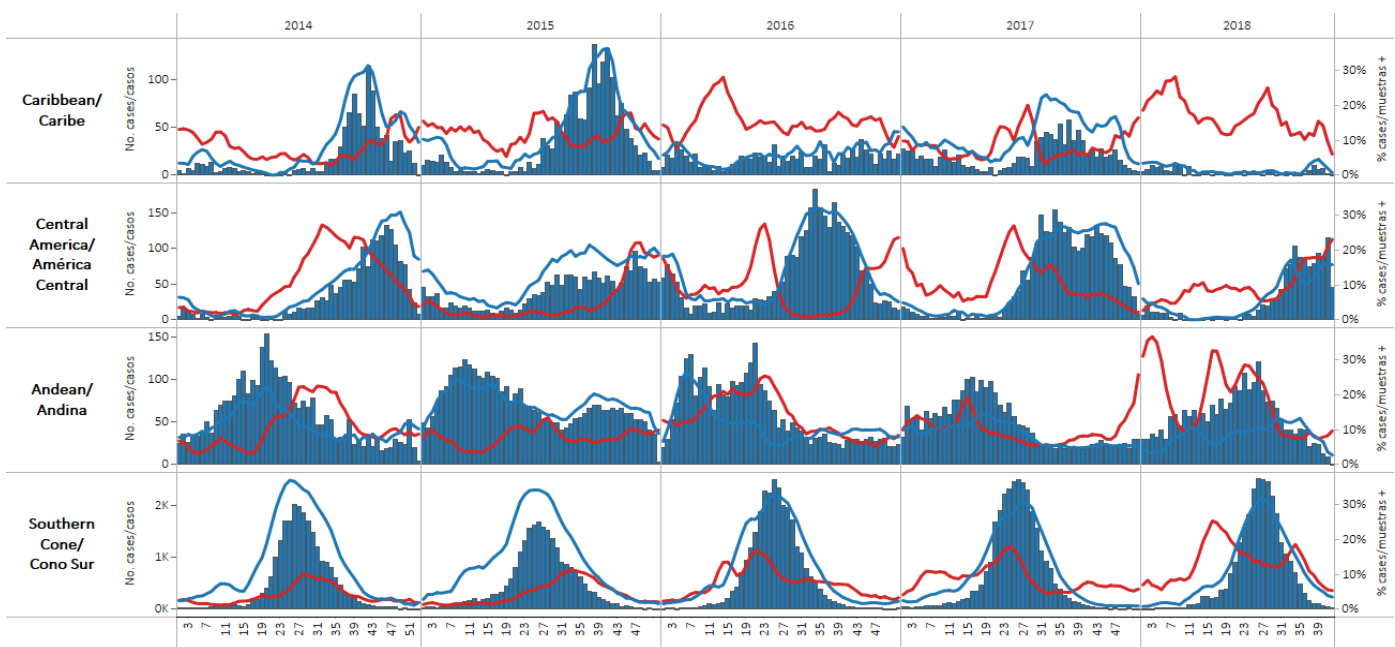
Please note that the flu (+) % line is computed with a 3 week average.
Tenga en cuenta que la línea de flu (+) % se calcula con un promedio de 3 semanas.

Influenza viruses/ Virus influenza

- Influenza A (H1N1)pdm09
- Influenza A(H3N2)
- Influenza A No subtipificado
- Influenza A not subtipable/no su..
- B/Victoria
- B/Yamagata
- B/lineaje no determinado
- Flu (+) %

Respiratory syncytial virus (RSV) circulation by subregion, 2014-18

Circulación de virus sincicial respiratorio (VSR) por subregión, 2014-18



Please note that the flu and rsv (+) line is computed with a 3 week average.
Tenga en cuenta que la línea de flu y vsr (+) % se calcula con un promedio de 3 semanas.

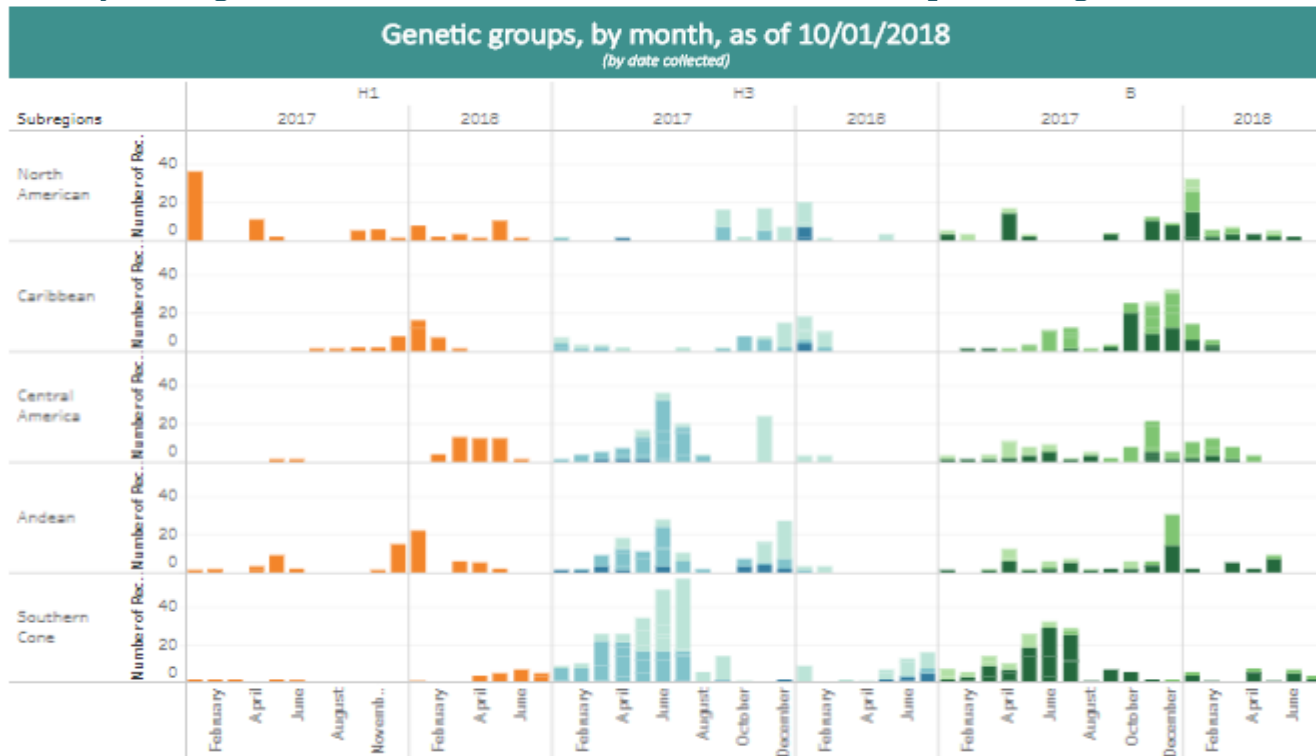
Respiratory viruses/ Virus respiratorios

- RSV/ VSR (+) %
- % Influenza(+)
- RSV/VSR

*To view more lab data, view [here](#). / Para ver mas datos lab, vea [aquí](#).

Genetic Characterization of Influenza Virus by Subregion, 2017-18

Caracterización Genética de los Virus Influenza por Subregión, 2017-18



These data are from the WHO –Collaborating Center at the U.S. CDC.
Estos datos son recolectados desde el CC de la OMS en el CDC de EE. UU.



Weekly and cumulative numbers of influenza and other respiratory virus, by country and EW, 2018¹ Números semanales y acumulados de influenza y otros virus respiratorios, por país y SE, 2018²

EW 42, 2018 / SE 42, 2018

| | | N samples/muestras | Influenza A(H3N2) | Influenza A (H1N1)pdm09 | Influenza A non-subtyped ^d | Influenza A not subtyped/no subtipificado | B Victoria | B Yamagata | B linaje no determinado | Influenza (+) % | Adenovirus | Parainfluenza | RSV/VSR | % RSV/VSR (+) | Bocavirus | Coronavirus | Metapneumovirus | Rhinovirus | % All Positive Samples (+) | |
|-------------------------------------|---|--------------------|-------------------|-------------------------|---------------------------------------|---|------------|------------|-------------------------|-----------------|------------|---------------|------------|---------------|-----------|-------------|-----------------|------------|----------------------------|-------|
| North America/ América del Norte | Canada | 18,225 | 18 | 46 | 40 | | | | 1 | 0.6% | 43 | 78 | 31 | 0% | | 2 | 6 | 447 | 3.9% | |
| | Mexico | 11 | 0 | 1 | 0 | 0 | 0 | 0 | 0 | 9.1% | 0 | 0 | 0 | 0% | 0 | 0 | 0 | 0 | 9.1% | |
| | USA | 14,014 | 6 | 21 | 61 | 0 | 1 | 0 | 40 | 0.9% | | | | | | | | | 0.9% | |
| Caribbean/ Caribe | Belize | 1 | 0 | 0 | 0 | 0 | 0 | 0 | 0 | 0.0% | 0 | 0 | 0 | 0% | 0 | 0 | 0 | 0 | 0.0% | |
| | French Guiana | 128 | 6 | 21 | 61 | 0 | 1 | 0 | 40 | 100.0% | | | | | | | | | 100.0% | |
| | Jamaica | 22 | 0 | 0 | 0 | 0 | 0 | 0 | 0 | 0.0% | 0 | 0 | 0 | 0% | | | | | 0.0% | |
| | Suriname | 1 | 0 | 0 | 0 | 0 | 0 | 0 | 0 | 0.0% | 0 | 0 | 0 | 0% | 0 | 0 | 0 | 0 | 0.0% | |
| Central America/ América Central | Costa Rica | 52 | 0 | 8 | 5 | 0 | | | 1 | 26.9% | 4 | 1 | 6 | 12% | | | | | 48.1% | |
| | El Salvador* | 43 | 0 | 7 | 0 | 0 | 2 | 2 | 0 | 25.6% | 0 | 0 | 0 | 0% | | | | | 25.6% | |
| | Guatemala | 25 | | | 1 | | | | | 4.0% | 1 | | 17 | 68% | | | | | 84.0% | |
| | Honduras | 7 | 0 | 0 | 0 | 0 | 0 | 0 | 0 | 0.0% | 2 | 0 | 0 | 0% | | | | | 28.6% | |
| Andean/ Andina | Nicaragua | 243 | | 71 | 2 | | | | 5 | 32.1% | | 1 | 23 | 9% | | | | | 42.0% | |
| | Bolivia | 9 | 0 | 0 | 0 | 0 | 0 | 0 | 0 | 0.0% | 0 | 0 | 0 | 0% | 0 | 0 | 0 | 0 | 0.0% | |
| | Ecuador | 7 | 0 | 0 | 0 | 0 | 0 | 1 | 14.3% | 0 | 1 | 0 | 0 | 0% | 0 | 0 | 0 | 0 | 28.6% | |
| | Brazil & Southern Cone/ Brasil y Cono Sur | 122 | 1 | 1 | 0 | | | | 5 | 5.7% | 7 | 5 | 3 | 2% | | | | | 18.9% | |
| | Chile | 977 | 2 | 1 | 1 | | | | 14 | 7 | 2.6% | 26 | 22 | 25 | 3% | | | | | 15.9% |
| | Chile_IRAG | 33 | 0 | 0 | 0 | 0 | 0 | 0 | 0 | 0.0% | 0 | 1 | 0 | 0% | 0 | 0 | 3 | 2 | 18.2% | |
| | Uruguay | 10 | 1 | 0 | 0 | 0 | 0 | 1 | 0 | 20.0% | 0 | 0 | 0 | 0% | 0 | 0 | 0 | 0 | 20.0% | |
| | Uruguay IRAG | 9 | | | 0 | | | 1 | | 11.1% | | | | | | | | | 11.1% | |
| Grand Total | | 33,939 | 34 | 177 | 171 | 0 | 4 | 18 | 100 | 1.5% | 83 | 109 | 105 | 0% | 0 | 2 | 69 | 449 | 3.9% | |

These are the raw numbers provided in the country's FluNet update (Not the smoothed averages)
Estos son los números crudos proporcionados en la actualización FluNet del país (no los promedios suavizados)

*Please note blank cells indicate N/A.

*Por favor notar que las celdas en blanco indican N/A.

* NIC laboratory data only / datos de laboratorio solo del NIC

EW 41, 2018 / SE 41, 2018

*Note: These countries reported in EW 42, 2018, but have provided data up to EW 41.

*Nota: Estos países reportaron en la SE 42, 2018, pero han enviado los datos hasta la SE 41.

| | | N samples/muestras | Influenza A(H3N2) | Influenza A (H1N1)pdm09 | Influenza A non-subtyped ^d | Total Influenza B | Influenza B (%) | Influenza B linaje undetermined* | Influenza B Victoria* | Influenza B Yamagata* | Adenovirus | RSV/VSR | % RSV/VSR (+) | Bocavirus* | Coronavirus.. | Metapneu.. | Rhinovirus* | Parainfluen.. | % All Positive Samples (+) |
|---|---------------|--------------------|-------------------|-------------------------|---------------------------------------|-------------------|-----------------|----------------------------------|-----------------------|-----------------------|------------|----------|---------------|------------|---------------|------------|--------------|---------------|----------------------------|
| Central America/ A.. | Panama | 113 | 8 | 0 | 0 | 1 | 8.0% | 3 | 44 | 39% | 0 | 0 | 0 | 6 | 26 | 0 | 77.9% | | |
| Brazil & Southern Cone/ Brasil y Cono Sur | Paraguay | 36 | 6 | 4 | 0 | 5 | 41.7% | 0 | 9 | 25% | 0 | 0 | 0 | 0 | 2 | 72.2% | | | |
| | Paraguay IRAG | 65 | 5 | 1 | 0 | 3 | 13.8% | 0 | 10 | 15% | 0 | 0 | 0 | 0 | 0 | 0 | 29.2% | | |
| Grand Total | | 214 | 19 | 5 | 0 | 9 | 15.4% | 3 | 63 | 29% | 0 | 0 | 0 | 6 | 26 | 2 | 62.1% | | |

EW 39-42, 2018 / SE 39-42, 2018

| | | N samples/muestras | Influenza A(H3N2)* | Influenza A(H1N1)pdm09* | Influenza A non-subtyped ^d | Influenza B Victoria* | Influenza B Yamagata* | Influenza B linaje undetermined* | Influenza B (+) % | Adenovirus* | Parainfluenza* | RSV/VSR* | % RSV/VSR (+) | Bocavirus* | Coronavirus* | Metapneu.. | Rhinovirus* | Parainfluen.. | % All Positive Samples (+) |
|---|---------------------|--------------------|--------------------|-------------------------|---------------------------------------|-----------------------|-----------------------|----------------------------------|-------------------|-------------|----------------|------------|---------------|------------|--------------|------------|--------------|---------------|----------------------------|
| North America/ América del Norte | Canada | 68,425 | 36 | 97 | 94 | 0 | 0 | 10 | 0.3% | 173 | 214 | 90 | 0.1% | 0 | 26 | 31 | 1,870 | 3.9% | |
| | Mexico | 964 | 1 | 104 | 0 | 4 | 14 | 12 | 14.6% | 0 | 2 | 1 | 0.1% | 0 | 0 | 2 | 3 | 15.5% | |
| | USA | 60,909 | 28 | 81 | 654 | 11 | 13 | 227 | 1.6% | 0 | 0 | 0 | 0 | 0 | 0 | 0 | 0 | 1.6% | |
| Caribbean/ Caribe | Aruba | 4 | 0 | 1 | 0 | 0 | 0 | 0 | 25.0% | 0 | 0 | 3 | 75.0% | 0 | 0 | 0 | 0 | 100.0% | |
| | Barbados | 2 | 0 | 0 | 0 | 0 | 0 | 0 | 0.0% | 0 | 0 | 0 | 0 | 0 | 0 | 0 | 0 | 0.0% | |
| | Belize | 20 | 0 | 0 | 2 | 0 | 0 | 0 | 10.0% | 0 | 1 | 1 | 5.0% | 0 | 0 | 0 | 1 | 25.0% | |
| | Cuba | 58 | 0 | 13 | 1 | 1 | 0 | 1 | 27.6% | 0 | 0 | 1 | 1.7% | 0 | 1 | 0 | 7 | 43.1% | |
| | Cuba IRAG | 29 | 0 | 1 | 2 | 1 | 0 | 0 | 13.8% | 0 | 0 | 1 | 3.4% | 1 | 1 | 0 | 2 | 31.0% | |
| | Dominican Republic | 57 | 0 | 6 | 0 | 0 | 1 | 0 | 12.3% | 0 | 0 | 4 | 7.0% | 0 | 0 | 0 | 0 | 19.3% | |
| | French Guiana | 17 | 1 | 0 | 0 | 0 | 0 | 0 | 5.9% | 0 | 0 | 0 | 0 | 0 | 0 | 0 | 0 | 5.9% | |
| | Haiti | 129 | 0 | 25 | 0 | 0 | 0 | 0 | 19.4% | 0 | 0 | 0 | 0.0% | 0 | 0 | 0 | 0 | 19.4% | |
| | Jamaica | 79 | 0 | 1 | 0 | 0 | 0 | 0 | 1.3% | 0 | 0 | 0 | 0.0% | 0 | 0 | 0 | 0 | 1.3% | |
| | Suriname | 11 | 0 | 0 | 0 | 0 | 0 | 0 | 0.0% | 0 | 0 | 4 | 36.4% | 0 | 0 | 0 | 0 | 36.4% | |
| Central America/ América Central | Trinidad and Tobago | 1 | 0 | 0 | 0 | 0 | 0 | 0 | 0.0% | 0 | 0 | 0 | 0 | 0 | 0 | 0 | 0 | 0.0% | |
| | Costa Rica | 162 | 1 | 18 | 5 | 0 | 0 | 3 | 16.7% | 13 | 2 | 10 | 6.2% | 0 | 0 | 0 | 0 | 32.1% | |
| | El Salvador | 92 | 0 | 12 | 2 | 5 | 3 | 0 | 23.9% | 0 | 0 | 0 | 0.0% | 0 | 0 | 0 | 0 | 23.9% | |
| | El Salvador* | 163 | 0 | 27 | 1 | 8 | 5 | 0 | 25.2% | 0 | 0 | 1 | 0.6% | 0 | 0 | 0 | 0 | 25.8% | |
| | Guatemala | 102 | 0 | 1 | 1 | 0 | 0 | 0 | 2.0% | 1 | 0 | 62 | 60.8% | 0 | 0 | 4 | 0 | 67.6% | |
| | Honduras | 72 | 0 | 2 | 0 | 0 | 0 | 0 | 2.8% | 4 | 0 | 3 | 4.2% | 0 | 0 | 0 | 0 | 12.5% | |
| Andean/ Andina | Nicaragua | 1,313 | 0 | 277 | 7 | 0 | 0 | 29 | 23.8% | 0 | 7 | 144 | 11.0% | 0 | 0 | 0 | 0 | 35.3% | |
| | Panama | 314 | 21 | 5 | 0 | 0 | 2 | 0 | 8.9% | 5 | 1 | 122 | 38.9% | 0 | 0 | 19 | 54 | 72.9% | |
| | Bolivia | 85 | 4 | 0 | 4 | 0 | 0 | 0 | 9.4% | 0 | 1 | 7 | 8.2% | 0 | 0 | 0 | 0 | 18.8% | |
| | Colombia | 364 | 0 | 14 | 0 | 0 | 0 | 10 | 6.6% | 12 | 11 | 34 | 9.3% | 4 | 9 | 5 | 9 | 29.7% | |
| | Ecuador | 73 | 2 | 0 | 0 | 0 | 0 | 5 | 9.6% | 0 | 5 | 0 | 0.0% | 0 | 0 | 0 | 0 | 16.4% | |
| Brazil & Southern Cone/ Brasil y Cono Sur | Brazil | 566 | 17 | 12 | 0 | 3 | 12 | 7.8% | 17 | 23 | 10 | 1.6% | 0 | 0 | 8 | 2 | 18.4% | | |
| | Chile | 3,682 | 45 | 9 | 21 | 2 | 58 | 20 | 4.2% | 134 | 98 | 154 | 4.2% | 0 | 0 | 252 | 0 | 21.5% | |
| | Chile_IRAG | 234 | 5 | 1 | 0 | 0 | 2 | 3 | 4.7% | 8 | 4 | 9 | 3.8% | 0 | 0 | 17 | 3 | 22.2% | |
| | Paraguay | 277 | 24 | 9 | 0 | 0 | 0 | 13 | 16.6% | 2 | 3 | 30 | 10.8% | 0 | 0 | 0 | 0 | 29.2% | |
| | Paraguay IRAG | 273 | 19 | 4 | 0 | 0 | 0 | 8 | 11.4% | 0 | 0 | 28 | 10.3% | 0 | 0 | 0 | 0 | 21.6% | |
| | Uruguay | 50 | 2 | 0 | 0 | 0 | 1 | 0 | 6.0% | 0 | 0 | 1 | 2.0% | 0 | 0 | 1 | 0 | 10.0% | |
| | Uruguay IRAG | 38 | 1 | 0 | 0 | 0 | 1 | 0 | 5.3% | 0 | 0 | 1 | 2.6% | 0 | 0 | 1 | 0 | 10.5% | |
| Grand Total | | 138,654 | 207 | 720 | 794 | 32 | 105 | 353 | 1.6% | 369 | 375 | 726 | 0.5% | 5 | 37 | 341 | 1,951 | 4.3% | |

Total Influenza B, EW 35-42, 2018

| | | Total Influenza B | B Victoria | B Yamagata | B linaje no determinado | % B Victoria | % B Yamagata |
|---|-------------|-------------------|------------|------------|-------------------------|--------------|--------------|
| North America/ América del Norte | | 540 | 20 | 56 | 464 | 28% | 74% |
| Caribbean/ Caribe | | 12 | 2 | 5 | 5 | 29% | 71% |
| Central America/ América Central | | 139 | 29 | 19 | 91 | 60% | 40% |
| Andean/ Andina | | 61 | 0 | 3 | 58 | 0% | 100% |
| Brazil & Southern Cone/ Brasil y Cono Sur | Grand Total | 1,226 | 68 | 257 | 901 | 21% | 79% |

1 The detection of respiratory viruses other than influenza depends on the diagnostic capacity of each country and monitoring system. The absence of report of other respiratory viruses does not indicate the absence of their circulation.

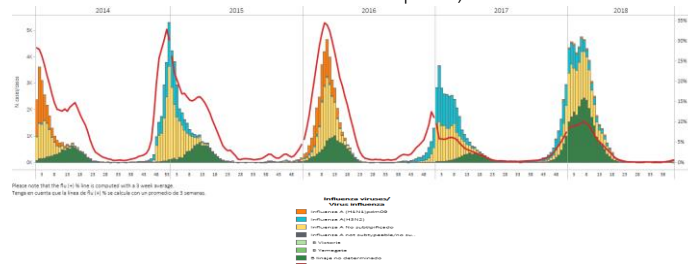
2 La detección de otros virus respiratorios diferentes a influenza depende de la capacidad diagnóstica de cada país y del sistema de vigilancia establecido. El que no se reporten otros virus respiratorios, no significa, ni indica la ausencia de circulación viral.

North America / América del Norte

Canada / Canadá

- In EW 42, the percent of ILI visits at the national level was at the 5-year average for the same period (Graph 2). Two regions in Ontario reported localized ILI activity, and most of the provinces and territories reported sporadic to no ILI activity (Graph 3). During EW 42, influenza detections slightly increased (Graph 1); influenza A(H1N1)pdm09 and B predominated among the influenza detections. RSV positivity remained at low levels in recent weeks, while adenovirus and parainfluenza predominated. / En la SE 42, el porcentaje de consultas por ETI a nivel nacional se ubicó en el promedio de 5 años para el mismo período (Gráfico 2). Dos regiones de Ontario reportaron actividad localizada de ETI, y la mayoría de los territorios y provincias reportaron esporádica o nula actividad de ETI (Gráfico 3). Durante la SE 42, las detecciones de influenza aumentaron ligeramente (Gráfico 1); los virus influenza A(H1N1)pdm09 y B predominaron entre las detecciones de influenza. La positividad de VSR permaneció a niveles bajos en semanas recientes, en tanto predominaron adenovirus y parainfluenza.

Graph 1. Canada: Influenza virus distribution by EW, 2014-18, EW 42. /
Distribución de virus de influenza por SE, 2014-18. SE 42.

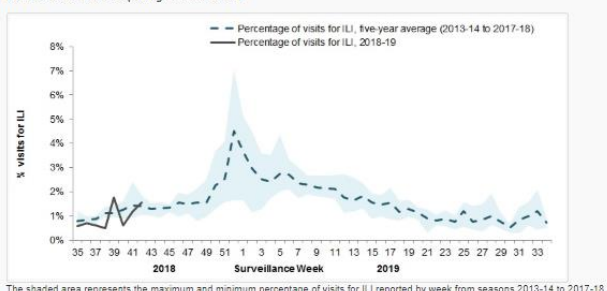


Graph 2. Canada: Percentage of ILI visits by sentinel sites, EW 42, 2018 (in comparison to 2012-2017 seasons)

Porcentaje de casos de ETI por sitio centinela, SE 42, 2018 (en comparación con temporadas 2012-2017)

Figure 4 - Percentage of visits for ILI reported by sentinels by report week, Canada, weeks 2018-35 to 2018-42

Number of Sentinels Reporting in Week 42: 91

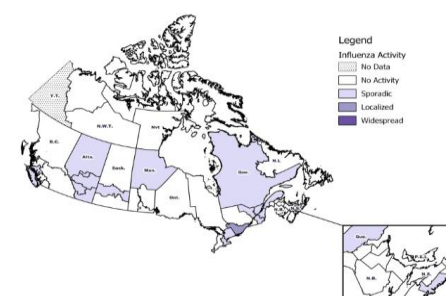


*To view more epi data, view [here](#). / Para ver mas datos epi, vea [aquí](#).

Graph 3. Canada: Influenza activity by provincial and territorial influenza surveillance regions, 2017-2018, EW 42, 2018.

Actividad de influenza por regiones de vigilancia de influenza provinciales y territoriales, 2017-2018, SE 42, 2018.

Figure 1 – Map of overall influenza/ILI activity by province and territory, Canada, week 2018-42

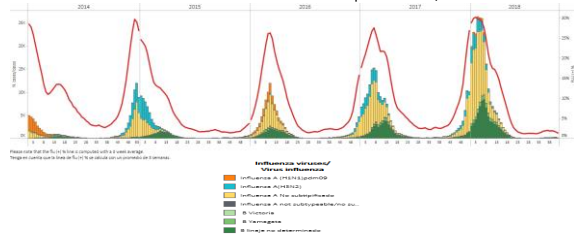


United States / Estados Unidos

- In EW 42, ILI activity at the national level remained below the seasonal threshold of 2.2% (Graph 4). Influenza detections continued at low levels, while RSV activity increased. Influenza A(H1N1)pdm09, A(H3N2) and Yamagata lineage of B co-circulated in recent weeks (Graph 1,2). The proportion of pneumonia and influenza deaths among all deaths was below the epidemic threshold of 5.9% for EW 41 (Graph 3). One pediatric death due to influenza A was reported during EW 41 - EW 42 of the 2018-2019 season. / En la SE 42, la actividad de ETI a nivel nacional permaneció en el umbral estacional de 2,2% (Gráfico 4). Las detecciones de influenza continuaron a niveles bajos, en tanto la actividad de VSR aumentó. Influenza A(H1N1)pdm09, A(H3N2) y el linaje Yamagata de B co-circularon en semanas recientes (Gráfico 1, 2). La proporción de fallecidos por neumonía e influenza del total de fallecidos se ubicó bajo el umbral epidémico de 5,9% para la SE 41 (Gráfico 3). Se reportó una muerte pediátrica debida a influenza A durante las SE 41 - SE 42 de la temporada 2018-2019.

Graph 1. US: Influenza virus distribution by EW 42, 2014-18

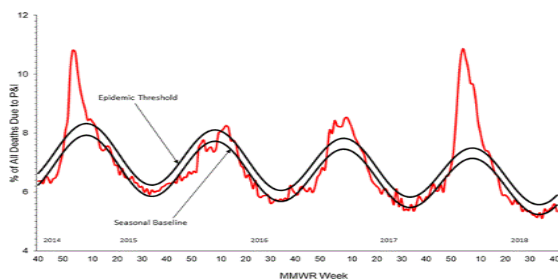
Distribución de virus de influenza por SE 42, 2014-18



Graph 3. US: Pneumonia and influenza mortality. EW 39, 2018

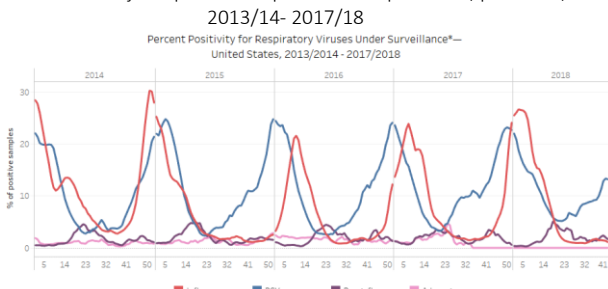
Mortalidad por neumonía e influenza. SE 39, 2018

Pneumonia and Influenza Mortality from the National Center for Health Statistics Mortality Surveillance System Data through the week ending October 13, 2018, as of October 25, 2018



Graph 2. US: Percent positivity for respiratory virus EW 42

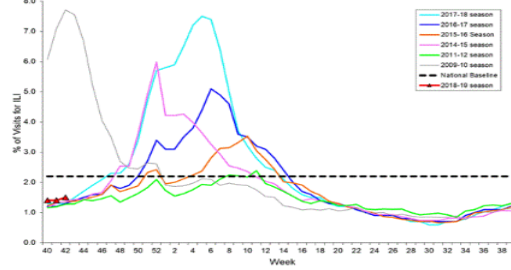
Porcentaje de positividad para virus respiratorios, por SE 42, 2013/14- 2017/18



Graph 4. US: Percentage of visits for ILI, 2017-2018. EW 42

Porcentaje de visitas por ETI, 2017-2018. SE 42.

Percentage of Visits for Influenza-like Illness (ILI) Reported by the U.S. Outpatient Influenza-like Illness Surveillance Network (ILINet), Weekly National Summary, 2018-2019 and Selected Previous Seasons

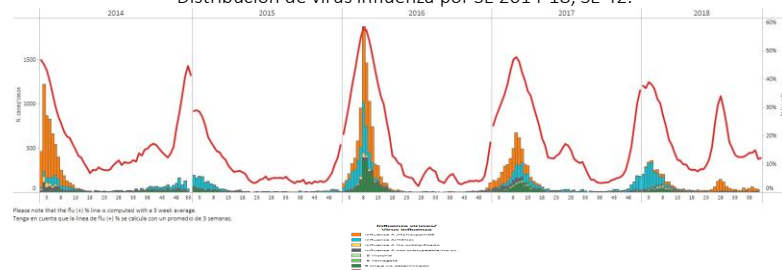


Mexico

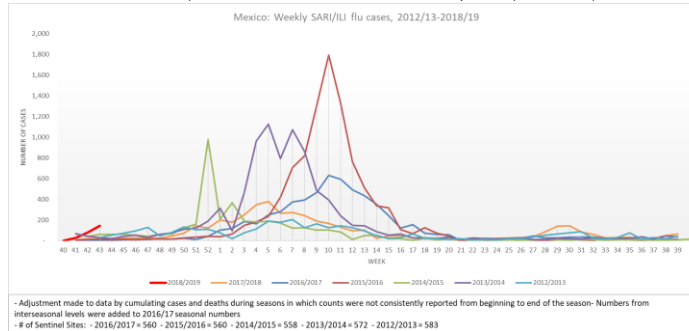
- During EW 42, influenza activity slightly decreased above the alert threshold, with influenza A(H1N1)pdm09 and both lineages of influenza B co-circulating in recent weeks; and there were no RSV detections (Graph 1). Up to EW 43, influenza-associated SARI/ILI counts were higher as compared to the levels observed during most other seasons (Graph 2) and 4 influenza-associated SARI/ILI deaths were reported as compared from previous seasons for the same period (Graph 3). In EW 43, 11 states reported higher influenza-associated SARI/ILI counts than the historic average: Chiapas, Colima, Durango, Querétaro, Quintana Roo, Sinaloa, Tabasco, Tamaulipas, Tlaxcala, Veracruz and Yucatan (Graph 4). In EW 43, 7 states reported higher influenza-associated SARI/ILI deaths counts than the historic average: Baja California, Campeche, Chiapas, Quintana Roo, Sinaloa, Veracruz and Yucatan (Graph 5). During EW 43, 145 cumulative influenza-assocaited SARI/ILI cases were reported, with the highest activity in Yucatán, Chiapas, Tabasco and Quintana Roo (Graphs 6, 7); and 4 influenza-associated SARI/ILI death in Aguas Calientes, Chiapas, Tabasco and Tlaxcala. / Durante la SE 42, la actividad de influenza disminuyó ligeramente sobre el umbral de alerta, con co-circulación de influenza A(H1N1)pdm09 y ambos linajes de influenza B en semanas previas; y no se reportaron detecciones de VSR (Gráfico 1). Hasta la SE 43, los recuentos de IRAG/ETI asociados a influenza aumentaron en relación a los niveles observados durante la mayoría de las restantes temporadas (Gráfico 2) y se reportaron 4 casos fallecidos de IRAG/ETI asociados a influenza en relación a las previas temporadas para el mismo período (Gráfico 3). En la SE 43, 11 estados reportaron mayores recuentos de IRAG/ETI asociados a influenza en comparación con el promedio histórico: Chiapas, Colima, Durango, Querétaro, Quintana Roo, Sinaloa, Tabasco, Tamaulipas, Tlaxcala, Veracruz y Yucatán (Gráfico 4). En la SE 43, 7 estados reportaron mayor recuento de fallecidos por IRAG/ETI asociados a influenza en comparación con el promedio histórico: Baja California, Campeche, Chiapas, Quintana Roo, Sinaloa, Veracruz y Yucatán (Gráfico 5). Durante la SE 43, fue reportado un total acumulado de 145 casos de IRAG/ETI asociados a influenza, con la mayor actividad en Yucatán, Chiapas, Tabasco y Quintana Roo (Gráficos 6, 7); y 4 muertes por IRAG/ETI asociadas a influenza en Aguas Calientes, Chiapas, Tabasco y Tlaxcala.

Graph 1. Mexico: Influenza virus distribution by EW 2014-18, EW 42.

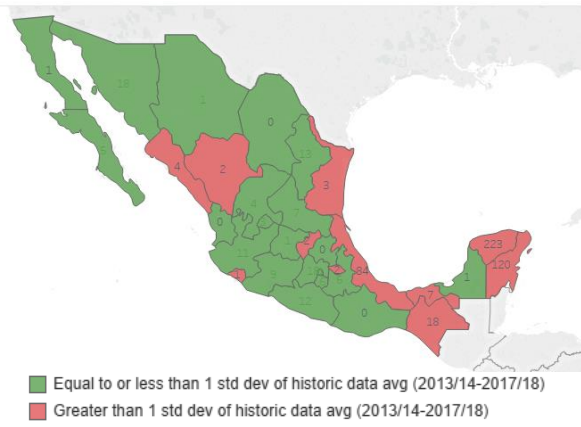
Distribución de virus influenza por SE 2014-18, SE 42.



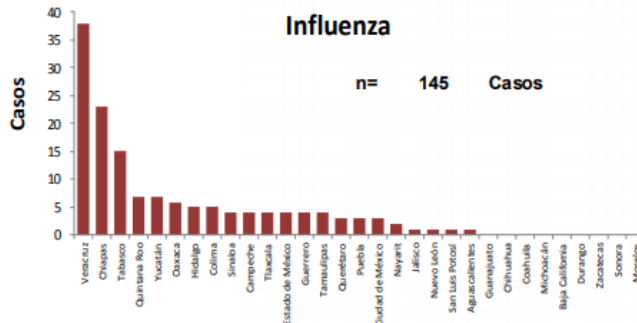
Graph 2. Mexico: Influenza-associated SARI/ILI cases EW 43, 2012/13-2018/19
Casos de IRAG/ETI asociados a influenza SE 43, 2012/13-2018/19



Graph 4. Mexico: Cumulative influenza-associated SARI/ILI cases greater than historic average, EW 21-43 (2014- 2018)
Casos acumulados de IRAG/ETI asociados a influenza superior al promedio histórico, SE 21-43 (2014- 2018)

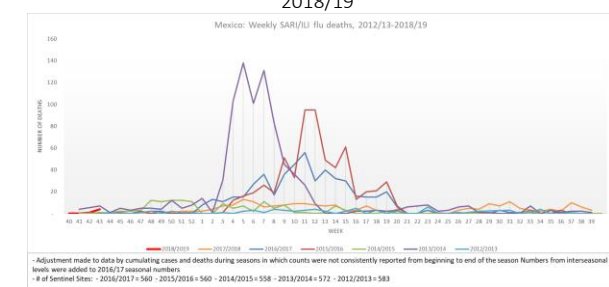


Graph 6. Mexico: SARI/ILI-influenza cases EW 43, 2018/19
Casos de IRAG/ETI asociados a influenza SE 43, 2018/19

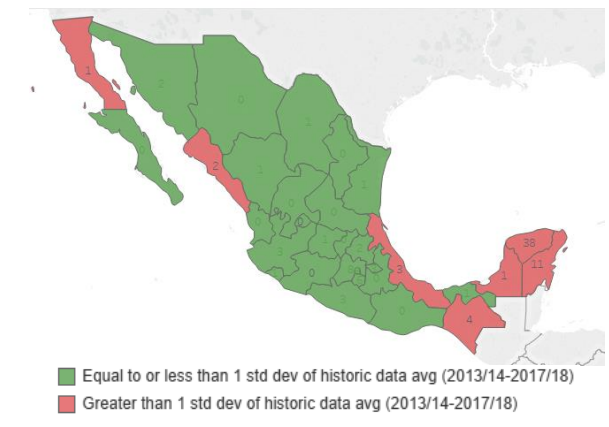


*To view more epi data, view [here](#). / Para ver mas datos epi, vea [aquí](#).

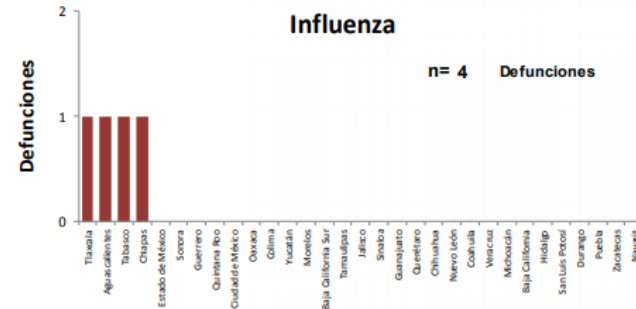
Graph 3. Mexico: Influenza-associated SARI/ILI deaths EW 43, 2012/13-2018/19
Casos fallecidos por IRAG/ETI asociados a Influenza SE 43, 2012/13-2018/19



Graph 5. Mexico: Cumulative influenza-associated SARI/ILI deaths greater than historic average, EW 21-43 (2014- 2018)
Fallecidos acumulados de IRAG/ETI asociados a influenza superior al promedio histórico, SE 21-43 (2014- 2018)



Graph 6. Mexico: SARI/ILI-flu deaths EW 43, 2018/19
Casos fallecidos por IRAG/ETI asociados a Influenza SE 43, 2018/19



Aruba

- During EW 40, low influenza detections were reported and influenza A(H1N1)pdm09 activity decreased (Graph 1) with increased SARI activity in recent weeks (Graph 3). The proportion of influenza positive samples decreased, and few RSV detections were reported (Graph 2). / Durante la SE 40, se reportaron bajas detecciones de influenza y la actividad de influenza A(H1N1)pdm09 disminuyó (Gráfico 1) con mayor actividad de IRAG en semanas recientes (Gráfico 3). La proporción de muestras positivas para influenza disminuyó, y se reportaron contadas detecciones de VRS (Gráfico 2).

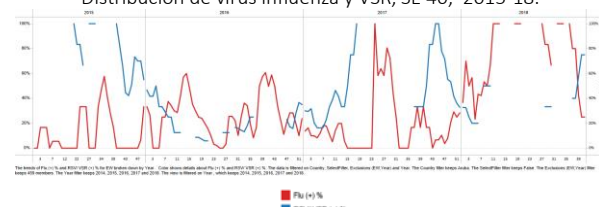
Graph 1. Aruba. Influenza virus distribution EW, EW 40, 2015-18.

Distribución de virus influenza por SE, SE 40, 2015-18.

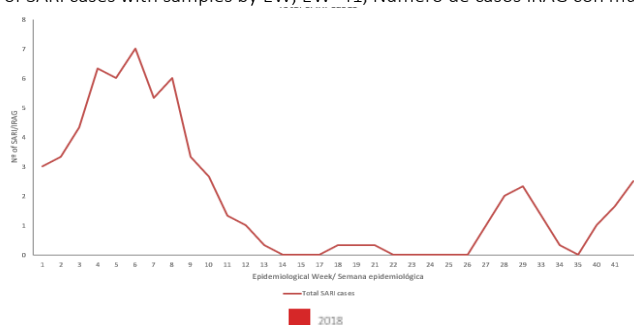


Graph 2. Aruba. Influenza and RSV distribution, EW 40, 2015-18.

Distribución de virus influenza y VSR, SE 40, 2015-18.



Graph 3. Aruba: Number of SARI cases with samples by EW, EW 41, Numero de casos IRAG con muestra por SE, SE 41, 2018

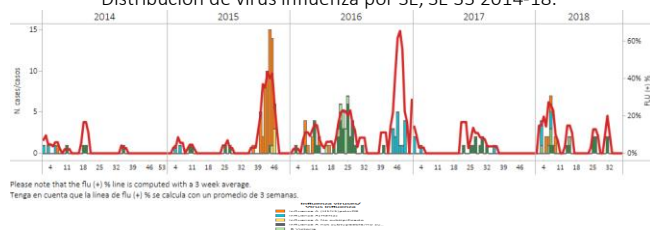


Barbados

- During EW 33, no influenza detection were reported and influenza B circulated in previous weeks (Graph 1, 2). During 2018, no RSV detections were reported (Graph 2). As of EW 39, the decreased SARI activity was below the levels observed in the 2015-2017 seasons for the same period (Graph 3). / Durante la SE 33, no se reportaron detecciones de influenza e influenza B circuló en semanas previas (Gráfico 1, 2). Durante 2018, no se reportaron detecciones de VRS (Gráfico 2). Hasta la SE 39, la actividad disminuida de IRAG se ubicó por debajo de los niveles observados en las temporadas 2015-2017 para el mismo período (Gráfico 3).

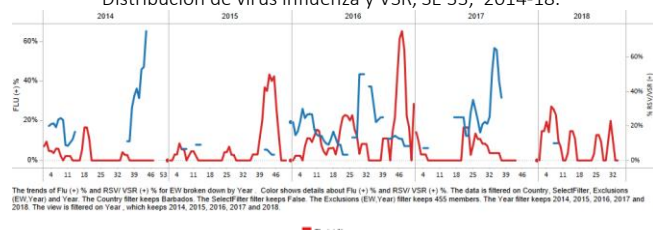
Graph 1. Barbados. Influenza virus distribution EW, EW 33, 2014-18.

Distribución de virus influenza por SE, SE 33 2014-18.



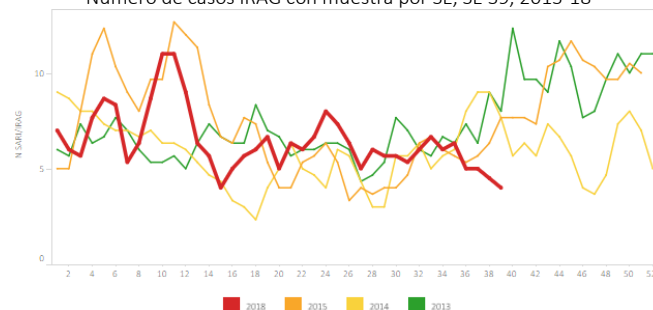
Graph 2. Barbados. Influenza and RSV distribution, EW 33, 2014-18.

Distribución de virus influenza y VSR, SE 33, 2014-18.



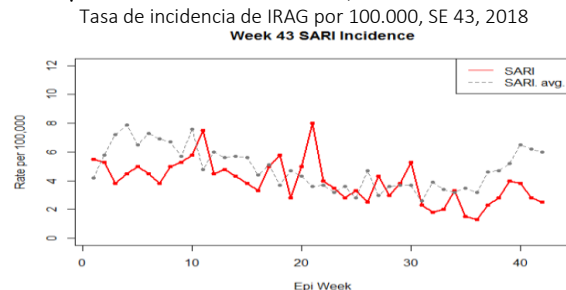
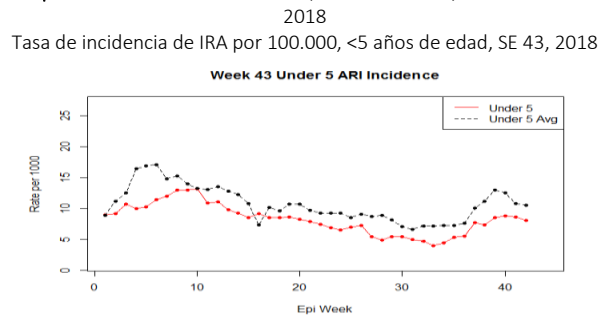
Graph 3. Barbados: Number of SARI cases with samples by EW, EW 39, 2013-18

Numero de casos IRAG con muestra por SE, SE 39, 2013-18

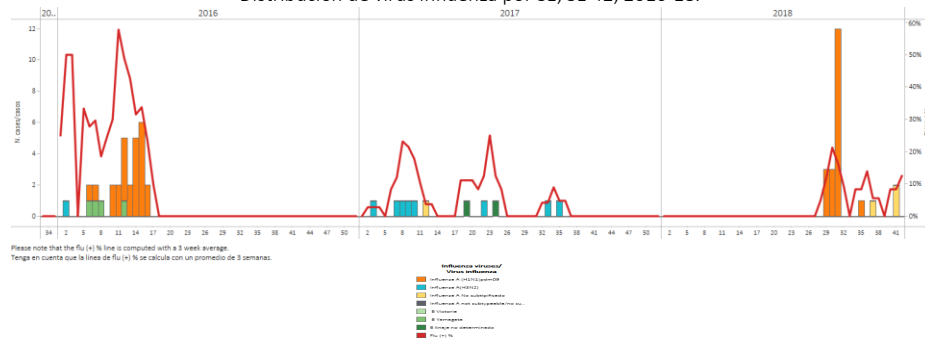


Belize/ Belice

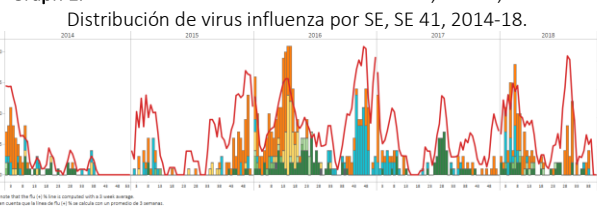
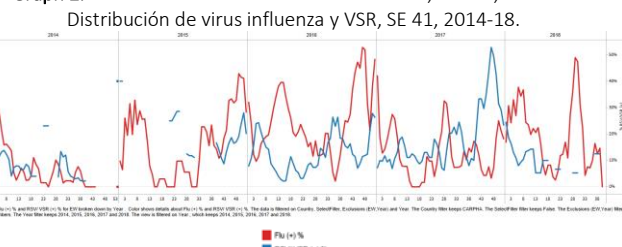
- During EW 43, slightly decreased SARI activity was reported (Graph 1), as compared to the previous five seasons' average. In EW 43, the ARI incidence rate among <5 years of age children was lower than the previous seasons for the same period (Graph 2). In EW 41 and the previous weeks, influenza A(H1N1)pdm09 predominated, with overall few samples (Graph 3). / Durante la SE 43, se reportó ligero descenso en la actividad de IRAG (Gráfico 1), en comparación con el promedio de las cinco temporadas previas. En la SE 43, la incidencia de IRA entre los niños <5 años fue menor que en las temporadas previas para el mismo período (Gráfico 2). En la SE 41 y en las semanas previas, predominó influenza A(H1N1)pdm09, con escasas muestras en general (Gráfico 3).

Graph 1. Belize: SARI incidence rate per 100,000, EW 43, 2018**Graph 2.** Belize: ARI incidence rate per 100,000, <5 years old, EW 43, 2018**Graph 3.** Belize. Influenza virus distribution EW, EW 42, 2016-18.

Distribución de virus influenza por SE, SE 42, 2016-18.

**CARPHA**

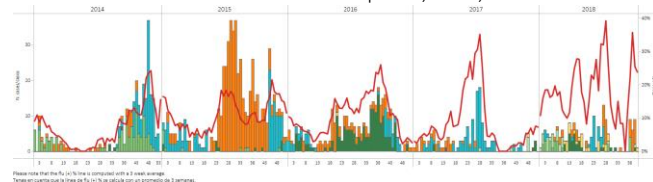
- During EW 41, decreased influenza detections were reported with influenza A(H1N1)pdm09 and B co-circulating in recent weeks (Graph 1). The proportion of influenza positive samples decreased, while the proportion of RSV remained similar to the levels from previous weeks (Graph 2). Durante la SE 41, se reportaron menores detecciones de influenza con co-circulación de influenza A(H1N1)pdm09 y B en semanas recientes (Gráfico 1). La proporción de muestras positivas para influenza disminuyó, mientras que la de VSR se mantuvo similar a los niveles de semanas previas (Gráfico 2).

Graph 1. CARPHA. Influenza virus distribution EW, EW 41, 2014-18.**Graph 2.** CARPHA. Influenza and RSV distribution, EW 41, 2014-18*To view more epi data, view [here](#). / Para ver mas datos epi, vea [aquí](#).**Cuba**

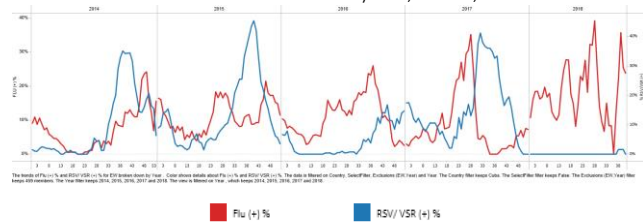
- During EW 41, decreased influenza detections were reported, with influenza A(H1N1)pdm09 and B co-circulating in previous weeks (Graph 1); while there were no RSV detections (Graph 2). The number of SARI cases decreased and were lower than in the 2014-2017 seasons for the same period and were among the <5-years-old population, with influenza A(H1N1)pdm09 predominating. / Durante la SE 41, se reportaron menores detecciones de influenza, con co-circulación de influenza A(H1N1)pdm09 y B en semanas previas(Gráfico 1), en tanto no se reportaron detecciones de VSR (Gráfico 2).

2). Los casos de IRAG disminuyeron y estuvieron por debajo de los niveles de las temporadas 2014-2017 para el mismo período y fueron entre la población de < 5 años de edad con predominio de influenza A(H1N1)pdm09.

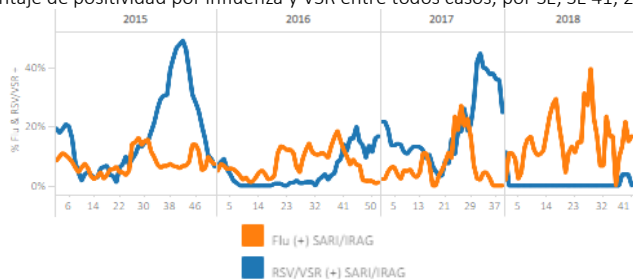
Graph 1. Cuba: Influenza virus distribution by EW, EW 41, 2014-18
Distribución de virus influenza por SE, SE 41, 2014-18



Graph 2. Cuba Influenza and RSV distribution, EW 41, 2014-18
Distribución de virus influenza y VSR, EW 41, 2014-18



Graph 3. Cuba: Percent positivity for influenza and RSV among SARI cases by EW, EW 41, 2015-18
Porcentaje de positividad por influenza y VSR entre todos los casos, por SE, SE 41, 2015-18

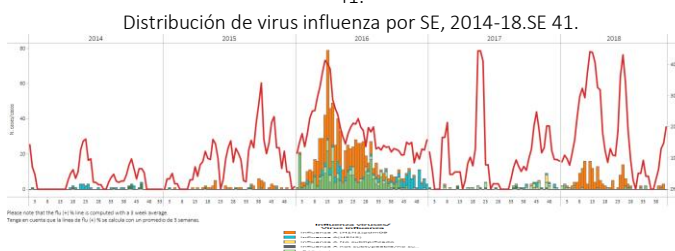


*To view more epi data, view [here](#). / Para ver mas datos epi, vea [aquí](#).

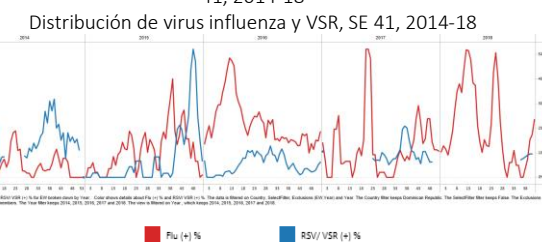
Dominican Republic / República Dominicana

- During EW 41, increased influenza detections were reported, with influenza B and A(H1N1)pdm09 co-circulating in recent weeks (Graph 1); RSV detections increased (Graph 2). Influenza positivity was above the alert threshold and the average epidemic curve (Graph 3). During EW 40, the number of SARI cases slightly decreased from previous weeks (Graph 4), with a similar proportion of influenza and RSV positive samples. The SARI and influenza-associated SARI cases predominated among the <5 years old. / Durante la SE 42, se reportaron mayores detecciones de influenza, con co-circulación de influenza B y A(H1N1)pdm09 en semanas recientes (Gráfico 1); las detecciones de VSR aumentaron (Gráfico 2). La actividad de influenza se ubicó sobre el umbral de alerta y el umbral epidémico (Gráfico 3). Durante la SE 40, el número de casos de IRAG disminuyó ligeramente en relación a semanas previas (Gráfico 4), con una proporción similar de muestras positivas para influenza y VSR. Los casos de IRAG y los casos de IRAG asociados a influenza predominaron en los <5 años.

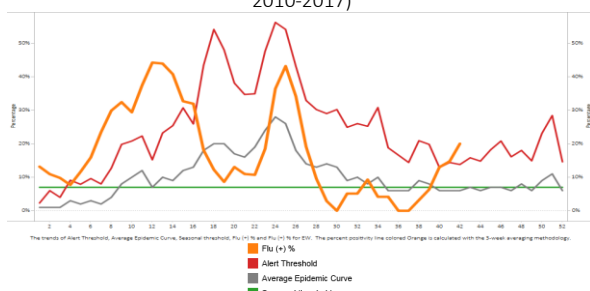
Graph 1. Dominican Republic: Influenza virus distribution EW, 2014-18. EW 41.
Distribución de virus influenza por SE, 2014-18. SE 41.



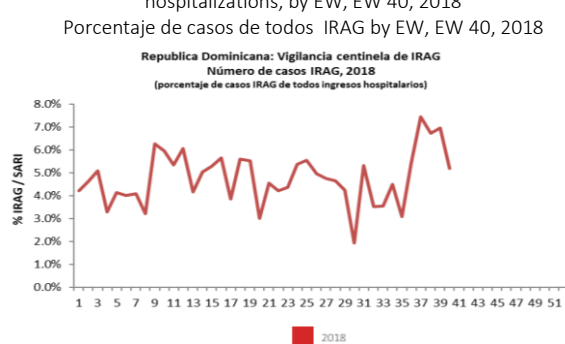
Graph 2. Dominican Republic Influenza and RSV distribution, EW 41, 2014-18
Distribución de virus influenza y VSR, SE 41, 2014-18



Graph 3. Dominican Republic: Percent positivity for influenza, 41 2018 (in comparison to 2010-2017)
Porcentaje de positividad de influenza, SE 41, 2018 (en comparación a 2010-2017)



Graph 4. Dominican Republic: Percent of SARI cases out of total hospitalizations, by EW, EW 40, 2018
Porcentaje de casos de todos IRAG por EW, EW 40, 2018

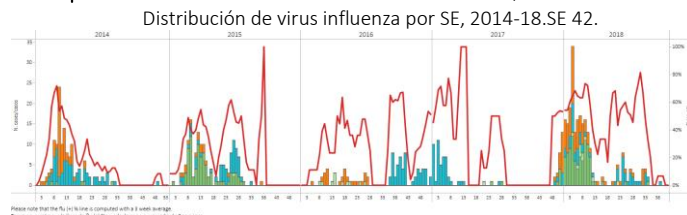


*To view more epi data, view [here](#). / Para ver mas datos epi, vea [aquí](#).

French Guiana

- During EW 42, no influenza detections were reported, with influenza A(H3N2) and A(H1N1)pdm09 co-circulating in recent weeks (Graph 1). Influenza positivity was below the seasonal threshold and the average epidemic curve. / Durante la SE 42, no se reportaron detecciones de influenza, con co-circulación de influenza A(H3N2) y A(H1N1)pdm09 en semanas recientes (Gráfico 1). La actividad de influenza se ubicó bajo el umbral estacional y la curva epidémica.

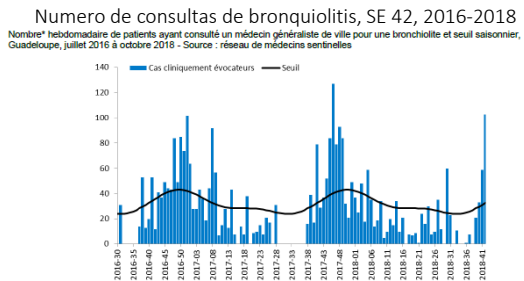
Graph 1. French Guiana: Influenza virus distribution EW, 2014-18. EW 42.



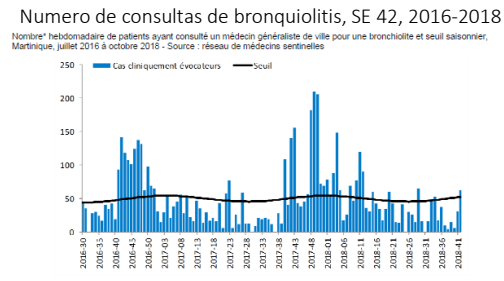
French Territoires / Territorios Franceses

- Since EW 40, 2018, bronchiolitis consultations continued to increase and were higher than the seasonal average in Guadeloupe (Graph 1). In Martinique, bronchiolitis activity increased at seasonal levels during EW 42, 2018 and in recent weeks (Graph 2). / Desde la SE 40 de 2018, las consultas por bronquiolitis continuaron en aumento y fueron mayores que el promedio estacional en Guadalupe (Gráfico 1). En Martinica, la actividad de bronquiolitis aumentó a niveles estacionales durante la SE 42 de 2018, y en semanas previas (Gráfico 2).

Graph 1. Guadeloupe: Number of bronchiolitis consultations, EW 42, 2016-2018



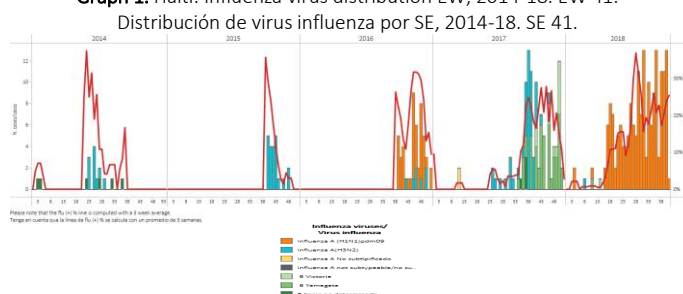
Graph 2. Martinique: Number of bronchiolitis consultations, EW 42, 2016-2018



Haiti

- During 2018, influenza activity began earlier than in the previous 2014-2017 seasons and peaked in EW 30. During EW 41, influenza cases decreased as compared to the previous weeks, with influenza A(H1N1)pdm09 predominated (Graph 1). As of EW 40, the number of SARI hospitalizations decreased from previous weeks; and was slightly higher than the levels observed in 2017 for the same period (Graph 2), with most of the cases among the <5 years old infants. / Durante 2018, la actividad de influenza inició más tempranamente que en las temporadas previas de 2014-2017 y presentó un pico en la SE 30. Durante la SE 41, los casos de influenza disminuyeron en comparación a las semanas previas, con predominio de influenza A(H1N1)pdm09 (Gráfico 1). Hasta la SE 40, el número de hospitalizaciones por IRAG se encuentra en descenso respecto a semanas previas; siendo ligeramente superior a los niveles observados en 2017 para el mismo período (Gráfico 2); con la mayoría de los casos reportados entre los niños <5 años de edad.

Graph 1. Haiti: Influenza virus distribution EW, 2014-18. EW 41.



Graph 2. Haiti: Number of SARI cases, EW 40, 2017-2018. / Número de casos de IRAG, SE 40, 2017-2018.

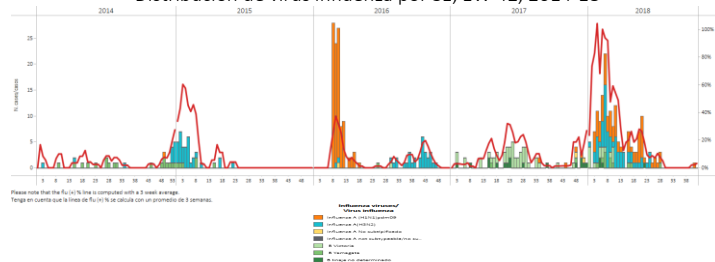


*To view more epi data, view [here](#). / Para ver mas datos epi, vea [aquí](#).

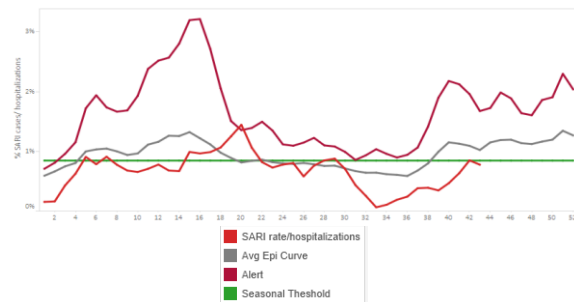
Jamaica

- During EW 42, SARI activity remained at the seasonal threshold as compared to the 2016-2017 seasons (Graph 2). The number of ARI cases remained above the seasonal threshold, as compared to the 2014-2017 seasons for the same period (Graph 3) / Durante la SE 42, la actividad de IRAG permaneció en el umbral estacional en comparación a las temporadas 2016-2017 (Gráfico 2). El número de casos de IRA permaneció sobre el umbral estacional, respecto a las temporadas 2014-2017 para el mismo período (Gráfico 3). Durante la SE 42, no se reportaron detecciones de influenza con baja actividad de influenza A(H1N1)pdm09 en semanas previas (Gráfico 1).

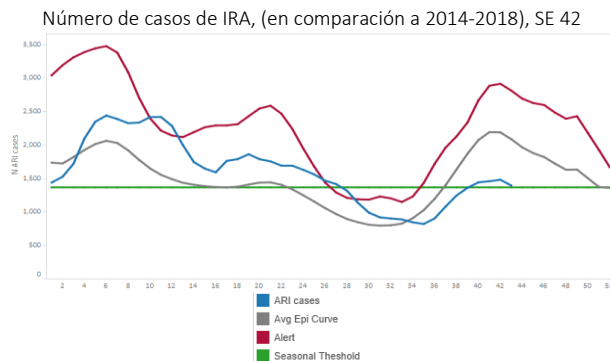
Graph 1. Jamaica: Influenza virus distribution by EW, EW 42, 2014-18
Distribución de virus influenza por SE, EW 42, 2014-18



Graph 2. Jamaica: % SARI hospitalizations among total hospitalizations, EW 42, 2016-2018. / % hospitalizaciones de casos IRAG entre total de hospitalizaciones, SE 42, 2016-2018.



Graph 3. Jamaica: Number of ARI cases (compared to 2014-2018), EW 42
Número de casos de IRA, (en comparación a 2014-2018), SE 42

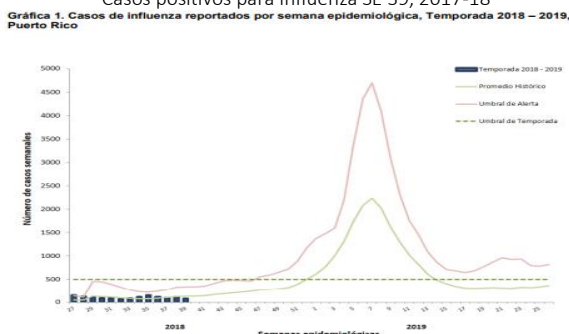


*To view more epi data, view [here](#). / Para ver mas datos epi, vea [aquí](#).

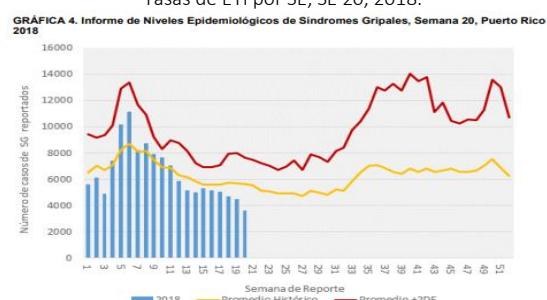
Puerto Rico

- During EW 39, few influenza cases were detected below the seasonal threshold, with co-circulation of influenza A(H3N2), A(H1N1)pdm09 and B (Graph 1) in recent weeks. ILI activity remained below the average epidemic curve (Graph 2). / Durante la SE 39, se han detectado contados casos de influenza por debajo del umbral estacional, con co-circulación de influenza A(H3N2), A(H1N1)pdm09 y B en semanas recientes (Gráfico 1). La actividad del ETI se mantuvo por debajo de la curva epidémica media (Gráfico 2).

Graph 1. Puerto Rico: Influenza-positive cases by EW 39, 2017-18
Casos positivos para influenza SE 39, 2017-18



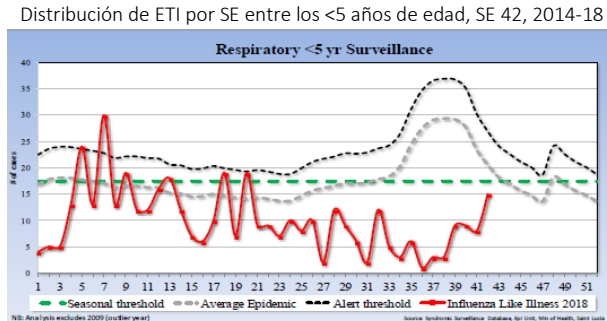
Graph 2. Puerto Rico: ILI epidemic rates by EW 20, 2018 / Tasas de ETI por SE, SE 20, 2018.



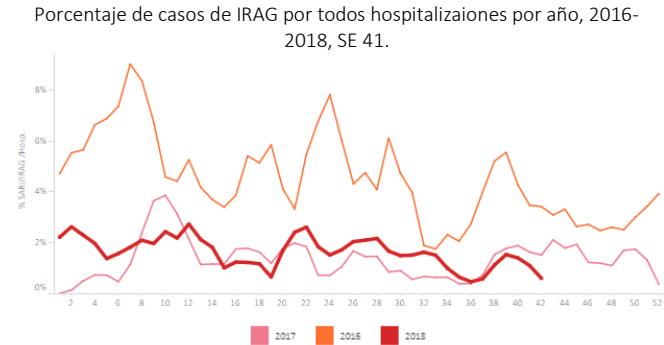
Saint Lucia

- During EW 42, the number of cases with respiratory symptoms among children under 5 years of age continued below the seasonal levels (Graph 1). During EW 41, SARI activity decreased as compared to the 2016-2017 seasons (Graph 2), with SARI admissions predominating among the 1 to 4 years of age population. / Durante la SE 42, el número de casos con síntomas respiratorios en niños menores de 5 años de edad continuó bajo los niveles estacionales (Gráfico 1). Durante la SE 41 la actividad de IRAG disminuyó en comparación con las temporadas 2016 y 2017 (Gráfico 2), con predominio de las admisiones por IRAG entre el grupo de 1 y 4 años de edad.

Graph 1. Saint Lucia: ILI cases distribution by EW among the < 5 years of age, EW 42, 2014-18
Distribución de ETI por SE entre los <5 años de edad, SE 42, 2014-18



Graph 2. Saint Lucia: Percent of SARI cases per total hospitalizations by year, 2016-2018, EW 41. /
Porcentaje de casos de IRAG por todos hospitalizaciones por año, 2016-2018, SE 41.

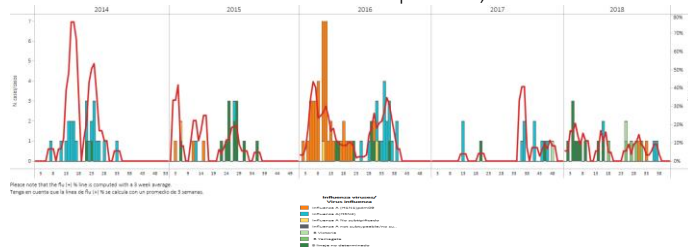


*To view more epi data, view [here](#). / Para ver mas datos epi, vea [aquí](#).

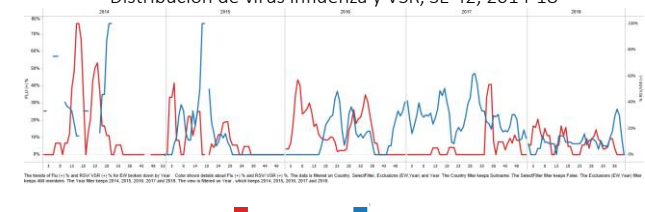
Suriname

- During EW 42, ILI case counts were similar to the previous week, while SARI-related hospitalizations remained at low levels and were lower than the 2015 season but similar to the 2016-2017 seasons for the same period (Graph 3, 4). Decreased SARI cases were associated with higher proportion of RSV samples than influenza samples; and predominated among the <5 years-of-age population. During EW 42, no influenza activity was reported, with influenza A(H3N2) and A(H1N1)pdm09 co-circulating in previous weeks (Graph 1); RSV activity also decreased (Graph 2). / Durante la SE 42, el número de casos de ETI fue similar a la semana previa, en tanto las hospitalizaciones relacionadas con IRAG permanecieron bajas y fueron menores que durante la temporada 2015 pero similares a las temporadas 2016-2017 para el mismo período (Gráfico 3, 4). El descenso de casos de IRAG se asoció a mayor proporción de muestras positivas para VSR que muestra de influenza; y predominó entre la población de <5 años de edad. Durante la SE 42, no se reportó actividad de influenza, con co-circulación de influenza A(H3N2) y A(H1N1)pdm09 en semanas anteriores (Gráfico 1); la actividad de VSR disminuyó (Gráfico 2).

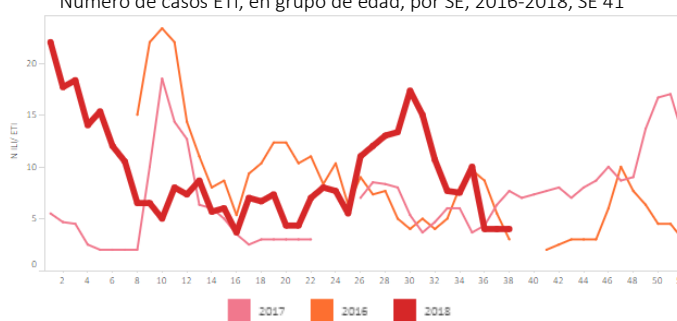
Graph 1. Suriname: Influenza virus distribution by EW 42, 2014-18
Distribución de virus influenza por SE 42, 2014-18



Graph 2. Suriname: Influenza and RSV distribution, EW 42, 2014-18
Distribución de virus influenza y VSR, SE 42, 2014-18



Graph 3. Suriname: Number of ILI cases, by age, by EW, 2016-2018.EW 41
Número de casos ETI, en grupo de edad, por SE, 2016-2018, SE 41



Graph 4. Suriname: % SARI hospitalizations per total hospitalizations, by EW, 2015-2018.EW 42.
Casos % de hospitalizaciones IRAG entre todas las hospitalizaciones, por SE, 2015-2018.SE 42.

Casos % de hospitalizaciones IRAG entre todas las hospitalizaciones, por SE, 2015-2018.SE 42.

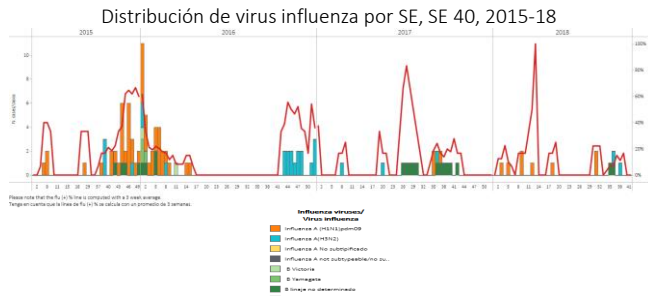


*To view more epi data, view [here](#). / Para ver mas datos epi, vea [aquí](#).

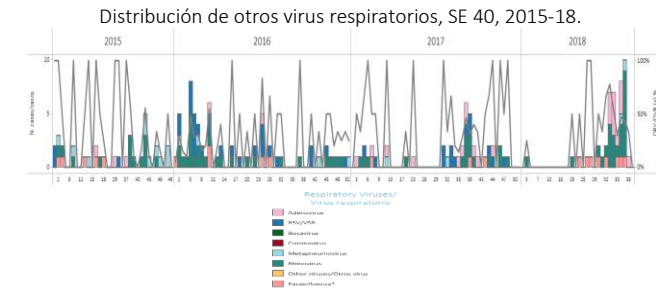
Trinidad & Tobago

- During EW 40, no influenza detections were reported, with influenza A(H3N2) and B predominating in previous weeks (Graph 1). Rhinovirus and parainfluenza virus circulated in recent weeks, and there were no RSV detections reported (Graph 2). As of EW 37, SARI activity decreased from the previous weeks (Graph 3). / Durante la SE 40, no se reportaron detecciones de influenza, con predominio de influenza A(H3N2) y B en semanas previas (Gráfico 1). Rhinovirus y parainfluenza circularon en semanas recientes y no se reportaron detecciones de VSR (Gráfico 2). Hasta la SE 37, la actividad de IRAG disminuyó en relación a las semanas previas (Gráfico 3).

Graph 1. Trinidad & Tobago: Influenza virus distribution by EW, EW 40, 2015-18



Graph 2. Trinidad & Tobago. Other respiratory virus distribution, EW 40, 2015-18



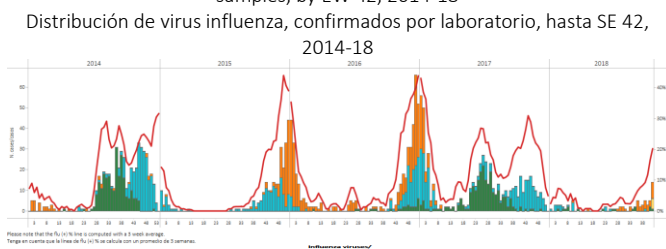
Graph 3. Trinidad & Tobago: Number of SARI cases with samples by EW, EW 37, 2018



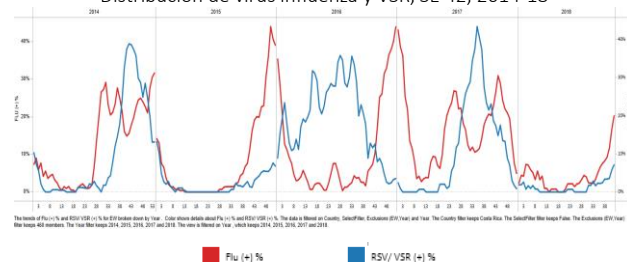
Costa Rica

- During EW 42, influenza activity increased from the previous weeks with influenza A(H1N1)pdm09 and B co-circulating (Graph 1). Influenza activity during EW 42 was lower than during the 2017 season for the same period and RSV activity remained at low levels (Graph 1, 2). In EW 41, the proportion of SARI hospitalizations (2%) and the proportion of SARI-associated deaths (14%) were slightly higher than in previous weeks, while the proportion of cases with ICU admissions (25%) decreased from the previous week and was similar to the 2017 season (Graph 3). / Durante la SE 42, la actividad de influenza aumentó en relación a las semanas previas con co-circulación de influenza A(H1N1)pdm09 y B (Gráfico 1). La actividad de influenza durante la SE 42 fue menor que durante la temporada 2017 para el mismo período y la actividad de VSR permaneció a niveles bajos (Gráficos 1, 2). En la SE 41, la proporción de hospitalizaciones por IRAG (2%) y la proporción de muertes asociadas a IRAG (14%) fueron ligeramente superiores que en las semanas previas, en tanto la proporción casos de IRAG admitidos a UCI (23%) disminuyó en relación a la semana previa y fue similar a la temporada 2017 (Gráfico 3).

Graph 1. Costa Rica: Influenza virus distribution, Laboratory confirmed samples, by EW 42, 2014-18



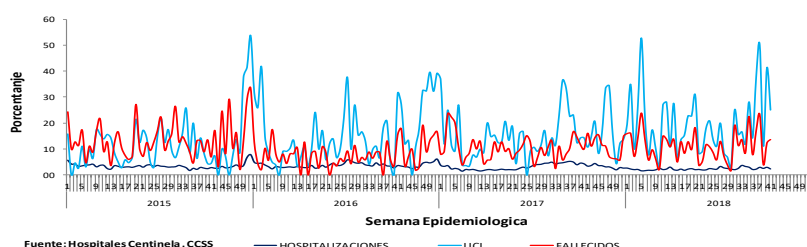
Graph 2. Costa Rica: Influenza and RSV distribution, EW 42, 2014-18
Distribución de virus influenza y VSR, SE 42, 2014-18



Graph 3. Costa Rica: Proportion of SARI hospitalizations, ICU admitions and deaths among all hospitalizations in sentinel sites by year. Costa Rica, EW 41, 2015-2018.

Distribución de hospitalizaciones por IRAG, admisiones a UCI y fallecidos sobre el total de hospitalizaciones en sitios centinela por año. Costa Rica, SE 41, 2015-2018

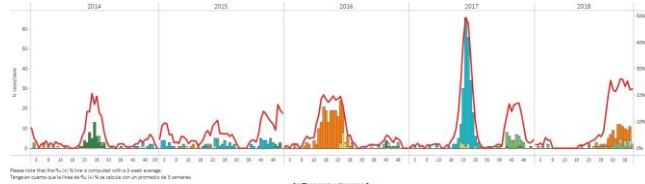
IRAG (%): Hospitalizaciones, admisiones a UCI y defunciones.
Hospitales Centinela, CCSS. Costa Rica,
SE N°41 Período 2015 - 2018.



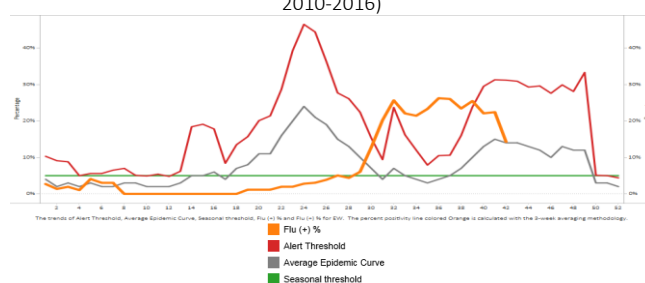
El Salvador

- During EW 41, influenza activity decreased slightly at the average epidemic curve with influenza A(H1N1)pdm09 and B co-circulating (Graphs 1, 3). No RSV detections were reported as compared to the previous season (Graph 2). During EW 41, SARI case counts slightly decreased and were lower to levels observed in the 2016-2017 seasons (Graph 4, 5); while pneumonia counts were similar to the levels reported during the 2016-2017 seasons (Graph 5). / Durante la SE 41, la actividad de influenza disminuyó en la curva epidémica promedio con co-circulación de influenza A(H1N1)pdm09 y B (Gráficos 1, 3). No se reportaron detecciones de VSR en relación a la temporada anterior (Gráfico 2). Durante la SE 41, los casos IRAG disminuyeron ligeramente y fueron menores a los niveles registrados en la temporada 2016-2017 (Gráfico 4); en tanto los recuentos de neumonía fueron similares a los niveles reportados durante las temporadas 2016-2017 (Gráfico 5).

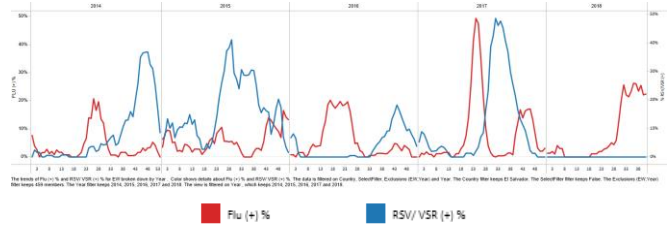
Graph 1. El Salvador: Influenza virus distribution, EW 41, 2014-18
Distribución de virus influenza, SE 41, 2014-18



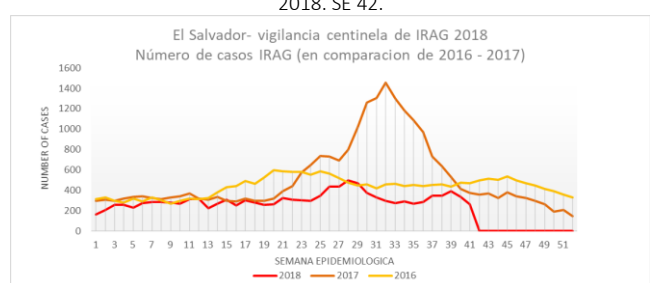
Graph 3. El Salvador: Percent positivity for influenza, EW 41, 2018 (in comparision to 2010-2016)
Porcentaje de positividad de influenza, SE 41, 2018 (en comparación a 2010-2016)



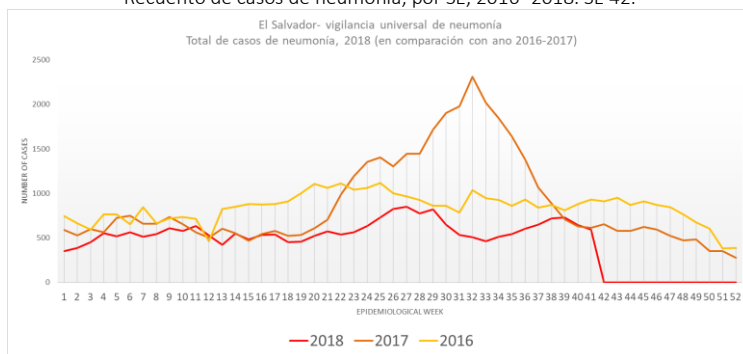
Graph 2. El Salvador: Influenza and RSV distribution, EW 41, 2014-18
Distribución de virus influenza y VSR, SE 41, 2014-18



Graph 4. El Salvador: Percent of SARI cases out of total hospitalizations, by EW, 2016- 2018. EW 42.
Porcentaje de casos por IRAG de todas las hospitalizaciones, por SE, 2016-2018. SE 42.



Graph 5. El Salvador: Number of pneumonia cases by EW, 2016- 2018. EW 42.
Recuento de casos de neumonía, por SE, 2016- 2018. SE 42.

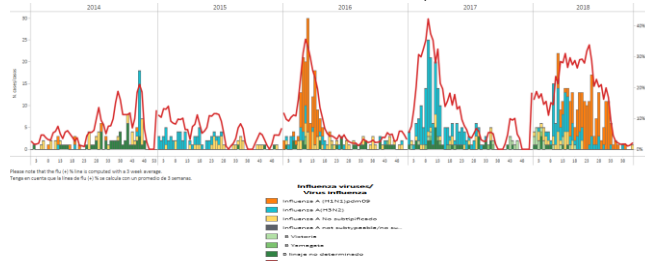


*To view more epi data, view [here](#). / Para ver mas datos epi, vea [aquí](#).

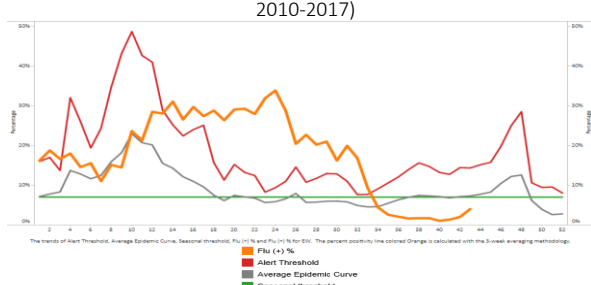
Guatemala

- During EW 42, influenza detections continued to decrease with influenza A(H1N1)pdm09 predominating and few influenza A(H3N2) detections in the previous weeks (Graph 1). Influenza positivity decreased below the seasonal threshold, as compared to the 2010-2017 period (Graph 3); while the RSV activity remained elevated in the last weeks and was similar to the levels of 2017 season (Graph 2). Up to EW 42, the percent of SARI cases was lower than during the 2017 season, with the highest proportion among <5 years old population (Graph 4). From EW 1 to EW42, 2018, fewer SARI cases (760 cases), as well as influenza-associated SARI cases (22 cases) and SARI-associated deaths (16 cases) were reported than in the previous season. During EW 42, pneumonia and ARI activity continued low as compared to the 2017 season and slightly increased from previous weeks (Graph 5, 6). / Durante la SE 42, las detecciones de influenza continuaron en descenso con predominio de influenza A(H1N1)pdm09 y escasas detecciones de influenza A(H3N2) en las semanas previas (Gráfico 1). La positividad de influenza disminuyó bajo el umbral estacional, en comparación al período 2010-2017 (Gráfico 3); en tanto la actividad de VSR permaneció elevada en las últimas semanas y fue similar a los niveles de la temporada 2017 (Gráfico 2). Hasta la SE 42, el porcentaje de casos de IRAG fue menor que durante la temporada 2017, con la mayor proporción entre la población de <5 años de edad (Gráfico 4). Desde la SE1 a la SE 42 de 2018, se reportaron menos casos de IRAG (760 casos), así como de casos de IRAG asociados a influenza (22 casos) y fallecidos por IRAG (16 casos) que en la temporada previa. Durante la SE 42, las actividades de neumonía e IRA continuaron bajas en relación al período 2017 y aumentó ligeramente en semanas recientes (Gráficos 5, 6).

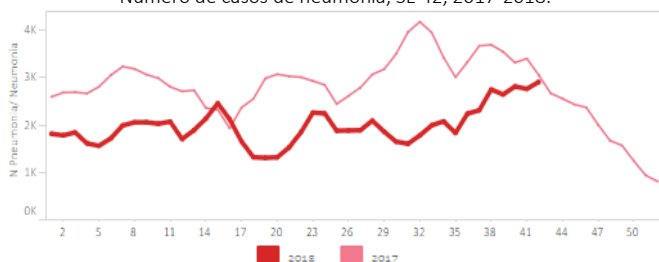
Graph 1. Guatemala. Influenza virus distribution EW 42, 2014-18
Distribución de influenza SE 42, 2014-18



Graph 3. Guatemala: Percent positivity for influenza, EW 42, 2018 (in comparison to 2010-2017)
Porcentaje de positividad de influenza, SE 42, 2018 (en comparación con 2010-2017)

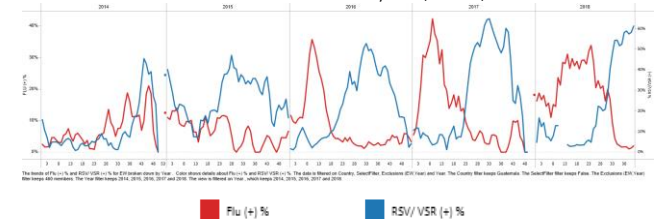


Graph 5. Guatemala: Number of pneumonia cases, EW 42, 2017-2018. / Número de casos de neumonía, SE 42, 2017-2018.



*To view more epi data, view [here](#). / Para ver mas datos epi, vea [aquí](#).

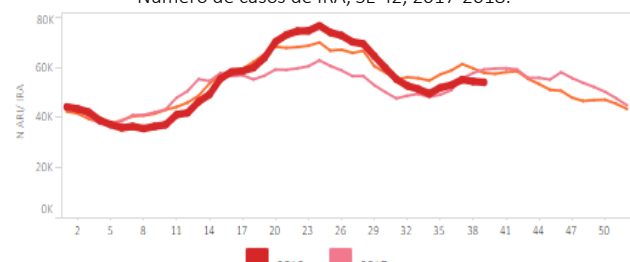
Graph 2. Guatemala: Influenza and RSV distribution, EW 42, 2014-18
Distribución de virus influenza y VSR, SE 42, 2014-18



Graph 4. Guatemala: Number of SARI cases, EW 42, 2017-2018. / Número de casos IRAG, SE 42, 2017-2018.



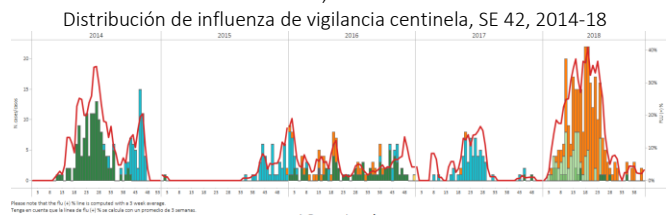
Graph 6. Guatemala: Number of ARI cases, EW 42, 2017-2018. / Número de casos de IRA, SE 42, 2017-2018.



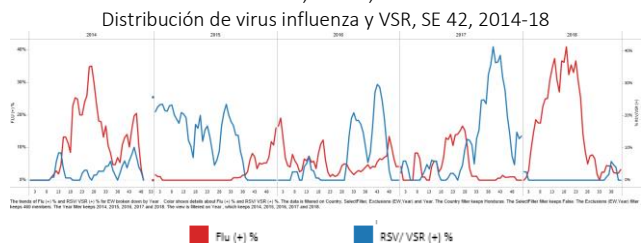
Honduras

- During EW 42, at the sentinel sites, influenza activity decreased below the seasonal threshold (Graph 3) with influenza A(H1N1)pdm09 predominating (Graph 1); low RSV activity was reported in the last month (Graph 2). The influenza positive cases were reported mainly from Cortes and Francisco Morazán departments and most cases were among children under 5 years of age. During EW 41, the counts of SARI cases and SARI-associated deaths decreases as compared to the previous weeks and remained lower than the levels of the 2012-2017 seasons (Graph 4). / Durante la SE 42 de 2018, en los sitios centinela, la actividad de influenza disminuyó bajo el umbral estacional (Gráfico 3) con predominio de influenza A(H1N1)pdm09 (Gráfico 1); se reportó baja actividad de VSR en el último mes (Gráfico 2). Los casos positivos de influenza fueron reportados principalmente en los departamentos de Cortés y Francisco Morazán, y la mayoría de los casos fueron en niños menores de 5 años de edad. Durante la SE 41, el recuento de casos de IRAG y de muertes asociadas a IRAG disminuyeron en comparación a las semanas previas y permanecieron menores a los niveles de las temporadas 2012-2017 (Gráfico 4).

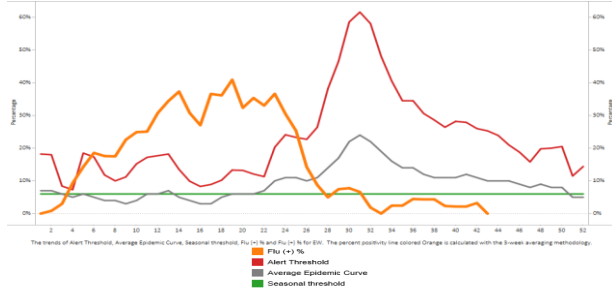
Graph 1. Honduras. Influenza virus distribution from sentinel surveillance, EW 42, 2014-18
Distribución de influenza de vigilancia centinela, SE 42, 2014-18



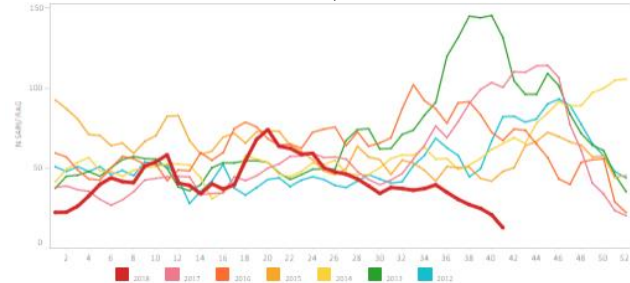
Graph 2. Honduras: Influenza and RSV distribution form sentinel surveillance, EW 42, 2014-18
Distribución de virus influenza y VSR, SE 42, 2014-18



Graph 3. Honduras : Percent positivity for influenza,from sentinel surveillance, EW 42, 2018 (in comparision to 2010-2017)
Porcentaje de positividad de influenza, de la vigilancia centinela, SE 42, 2018 (en comparación con 2010-2017)



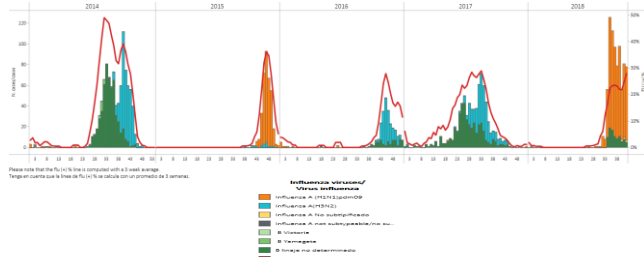
Graph 4. Honduras: Number of SARI cases out of total hospitalizations, EW 41, 2012-2018. /
Número de casos IRAG de todas hospitalizaciones, SE 41, 2012-2018.



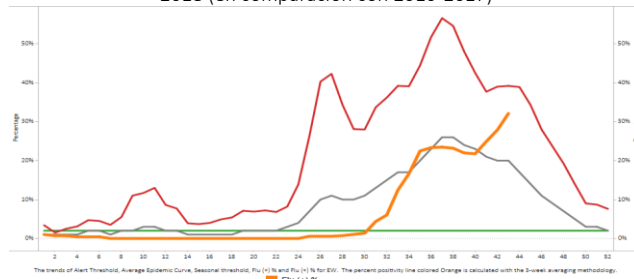
Nicaragua

- During the 2018 season, influenza activity was reported at low levels. From EW 29 to EW 42, influenza A(H1N1)pdm09 activity remained elevated above the seasonal levels and the average epidemic curve (Graph 1, 3), and RSV activity continued to increase (Graph 2). From EW 29 to EW 42, pneumonia case counts steadily increased similar to the levels observed in 2014-2017 and lower than in the 2016 season for the same period (Graph 4). The ARI case counts increased in EW 42 and were similar to the levels reported in 2015-2017 for the same period (Graph 5). / Durante la temporada 2018, la actividad de influenza se reportó a niveles bajos. Desde la SE 29 a la SE 42, la actividad de influenza A(H1N1)pdm09 permaneció elevada sobre los niveles estacionales y la curva epidémica promedio (Grafico 1), y los niveles de VSR continuaron en aumento (Gráfico 2). Desde la SE 29 a la SE 42, el recuento de casos de neumonía aumentó en forma sostenida similar a los niveles observados en 2014-2017 y menores que en la temporada 2016 para el mismo período (Gráfico 4). Los recuentos de IRA aumentaron en la SE 41 y fueron similares a los niveles reportados en 2015-2017 para el mismo período (Gráfico 5).

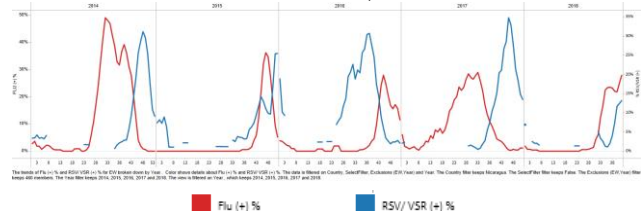
Graph 1. Nicaragua. Influenza virus distribution EW 42, 2014-18
Distribución de influenza SE 42, 2014-18



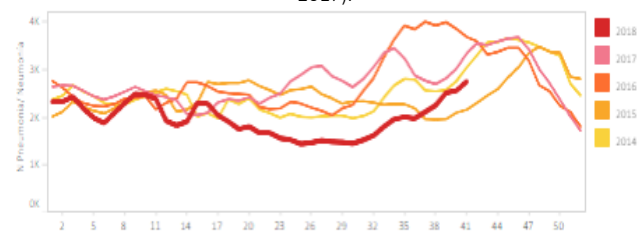
Graph 3. Nicaragua : Percent positivity for influenza,from sentinel surveillance, EW 42, 2018 (in comparision to 2010-2017)
Porcentaje de positividad de influenza, de la vigilancia centinela, SE 42, 2018 (en comparación con 2010-2017)



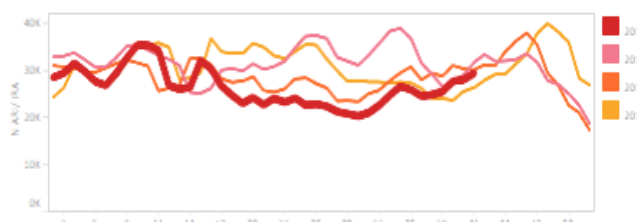
Graph 2. Nicaragua: Influenza and RSV distribution, EW 42, 2014-18
Distribución de virus influenza y VSR, SE 42, 2014-18



Graph 4. Nicaragua : Number of pneumonia cases, EW 41, 2018 (in comparison to 2014-2017) /
Número de casos de neumonía, SE 41, 2018 (en comparación a 2014-2017).



Graph 5. Nicaragua : Number of ARI cases, EW 41, 2018 (in comparison to 2015-2017) /
Número de casos de IRA, SE 41, 2018 (en comparación a 2015-2017).

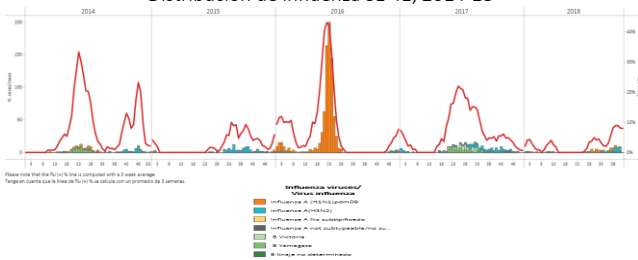


Panama

- During the 2018 season, at the national level, influenza activity continued at low levels. In EW 41, increased influenza detections were reported, with influenza A(H3N2) predominating(Graph 1); and RSV detections slightly increased as compared to previous weeks (Graph 2). / Durante la temporada 2018, a nivel nacional, la actividad de influenza continuó en niveles bajos. En la SE 41, se han reportado mayores detecciones de influenza, con predominio de influenza A(H3N2) en semanas previas (Gráfico 1); las detecciones de VSR aumentaron ligeramente respecto a las semanas previas (Gráfico 2).

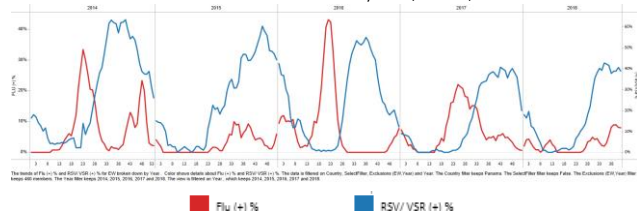
Graph 1. Panama. Influenza virus distribution EW 41, 2014-18

Distribución de influenza SE 41, 2014-18



Graph 2. Panama: Influenza and RSV distribution, EW 41, 2014-18

Distribución de virus influenza y VSR, SE 41, 2014-18

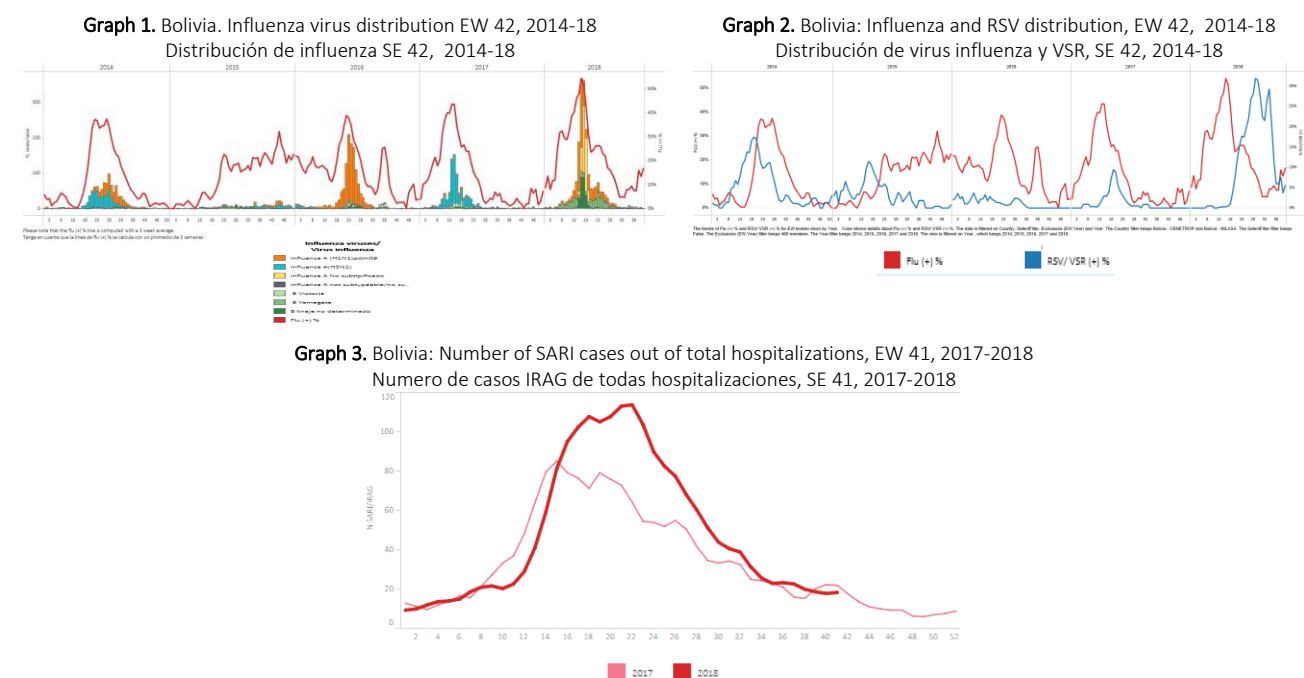


*To view more epi data, view here. / Para ver mas datos epi, vea aquí.

South America / América del Sur – Andean countries / Países andinos:

Bolivia

- During EW 41, at the national level, SARI cases decreased from the previous weeks and counts were similar to the levels observed in the 2017 season for the same period (Graph 3). Influenza activity slightly increased from the previous week with influenza B and A(H1N1)pdm09 co-circulating. RSV activity peaked during EW 29 with a downward slope since EW 33 (Graph 1, 2). In La Paz and Santa Cruz, in EW 42, the number of SARI cases decreased below the seasonal levels from previous weeks, with influenza B and A co-circulating. / Durante la SE 41, a nivel nacional, los casos de IRAG descendieron respecto a semanas previas y los recuentos fueron similares a los niveles observados en la temporada 2017 para el mismo período (Grafico 3). La actividad de influenza aumentó ligeramente respecto a lo observado la semana previa con co-circulación de influenza B y A(H1N1)pdm09 (Gráfico 1). La actividad del VRS llegó a su pico en la SE 29 con una pendiente descendiente desde la SE 33 (Gráfico 2). En La Paz y en Santa Cruz, en la SE 42, el recuento de casos de IRAG disminuyó por debajo del nivel estacional en relación a semanas previas, con co-circulación de influenza B y A.

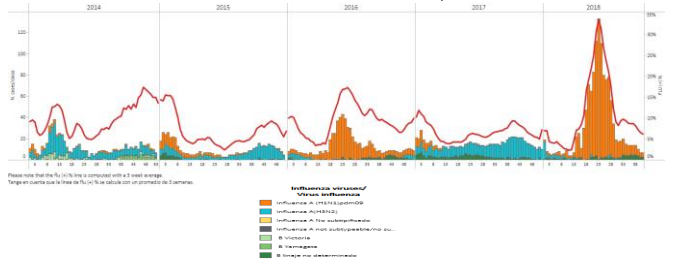


*To view more epi data, view [here](#). / Para ver más datos epi, vea [aquí](#).

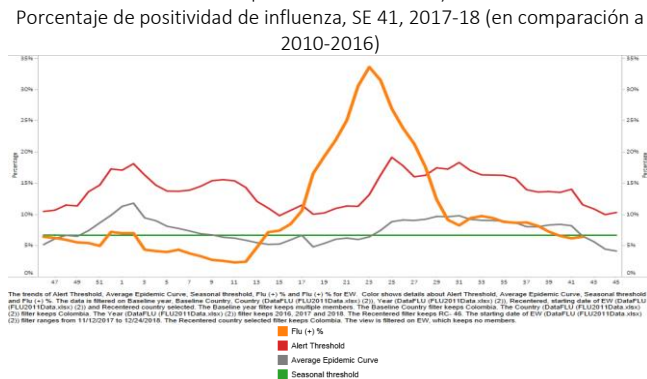
Colombia

- During EW 41, at national level, SARI case counts were lower as compared to the previous seasons for the same period and was below the seasonal threshold and the alert threshold (Graph 4). In EW 41, influenza activity decreased as compared to the previous weeks with influenza A(H1N1)pdm09 predominating (Graphs 1, 3); while RSV percent positivity slightly decreased (Graph 2). During EW 41, pneumonia activity slightly decreased below the seasonal levels and ARI activity continued at the alert threshold, in comparison to seasons in 2014-2017 (Graph 5, 6). / En la SE 41, a nivel nacional, el número de casos de IRAG fue menor en comparación a las temporadas previas para el mismo período, situándose por debajo del umbral estacional y de alerta (Grafico 4). Durante la SE 41, la actividad de influenza disminuyó en comparación a las semanas anteriores con predominio de influenza A(H1N1)pdm09 (Gráficos 1, 3); en tanto la positividad de VSR disminuyó ligeramente (Gráfico 2). Durante la SE 41, la actividad de neumonía disminuyó ligeramente bajo los niveles estacionales y la actividad de IRA permaneció en el umbral de alerta, en comparación con las temporadas 2014-2017 (Gráficos 5, 6).

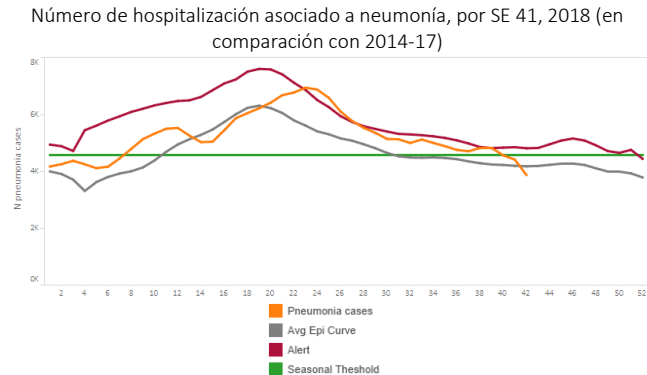
Graph 1. Colombia. Influenza virus distribution EW 41, 2014-18
Distribución de virus influenza SE 41, 2014-18



Graph 3. Colombia: Percent positivity for influenza, EW 41, 2017-18 (in comparison to 2010-2016)
Porcentaje de positividad de influenza, SE 41, 2017-18 (en comparación a 2010-2016)

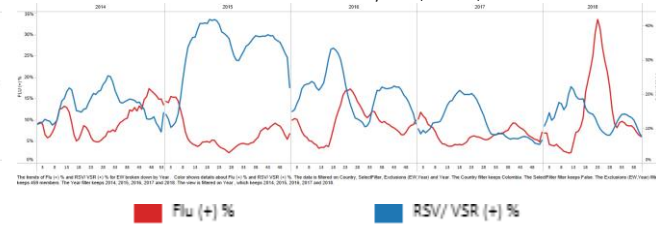


Graph 5. Colombia: Number of pneumonia-related hospitalizations, by EW 41, 2018 (in comparison with 2014-17)
Número de hospitalización asociado a neumonía, por SE 41, 2018 (en comparación con 2014-17)

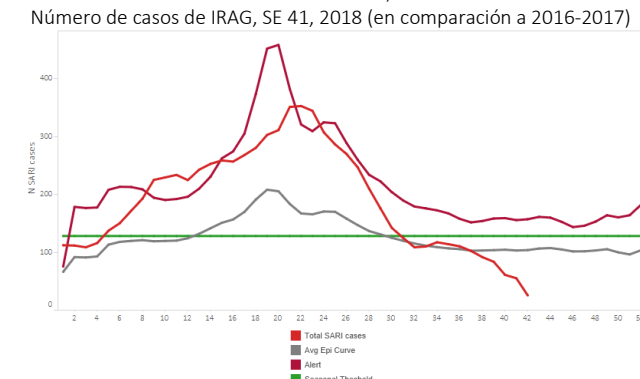


*To view more epi data, view [here](#). / Para ver mas datos epi, vea [aquí](#).

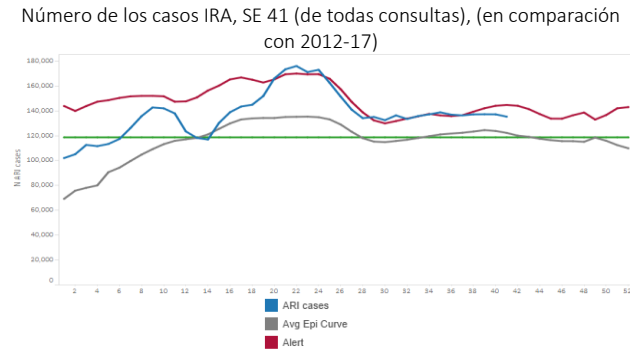
Graph 2. Colombia: Influenza and RSV distribution, EW 41, 2014-18
Distribución de virus influenza y VSR, SE 41, 2014-18



Graph 4. Colombia: Number of SARI cases, EW 41, 2018 (in comparison to 2016-2017)
Número de casos de IRAG, SE 41, 2018 (en comparación a 2016-2017)



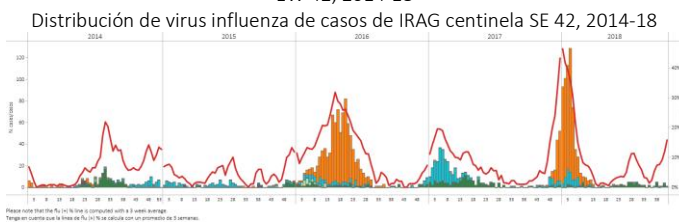
Graph 6. Colombia: Number of ARI cases, EW 41 (from all consultations), (in comparison with 2012-17)
Número de los casos IRA, SE 41 (de todas consultas), (en comparación con 2012-17)



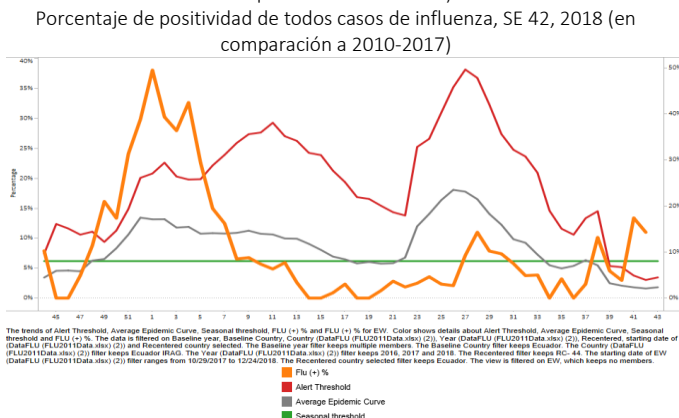
Ecuador

- During EW 42, at national level, the number of SARI cases among all hospitalizations slightly increased from previous weeks and remained similar to the levels observed during the 2016 -2017 seasons for the same period (Graph 4). During EW 42, influenza activity increased as compared to the previous weeks above the seasonal threshold (Graph 2). Influenza percent positivity was similar to the levels reported during the prior season for the same period, with no RSV detections (Graph 1, 2). / Durante la SE 42, a nivel nacional, el número de casos de IRAG del total de hospitalizaciones aumentó ligeramente en relación a semanas previas y se mantuvo similar a los niveles observados durante 2016-2017 para el mismo período (Gráfico 4). En la SE 42, la actividad de influenza aumentó en comparación con las semanas previas sobre el umbral estacional (Gráfico 2). El porcentaje de positividad de influenza fue similar a los niveles registrados en la temporada previa para el mismo período, sin detecciones para VSR (Gráficos 1, 2).

Graph 1. Ecuador IRAG: Influenza virus distribution from SARI sentinel cases by EW 42, 2014-18

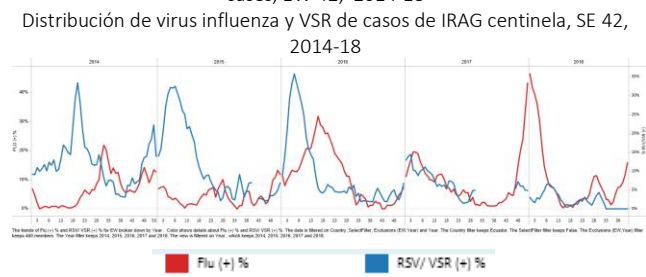


Graph 3. Ecuador: Percent positivity for all influenza cases, EW 42, 2018 (in comparision to 2010-2017)



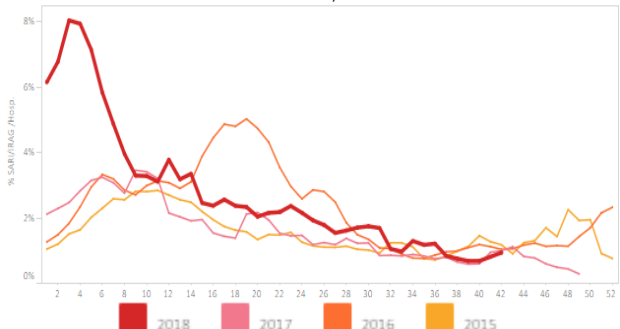
*To view more epi data, view [here](#). / Para ver mas datos epi, vea [aqui](#).

Graph 2. Ecuador IRAG: Influenza and RSV distribution from SARI sentinel cases, EW 42, 2014-18



Graph 4. Ecuador: Number of SARI, as of EW 42, 2018 (compared to 2015-2017)

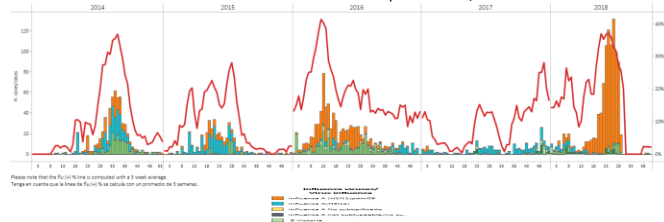
Numero de casos de IRAG, hasta la SE 42, 2018 (en comparacion a 2015-2017)



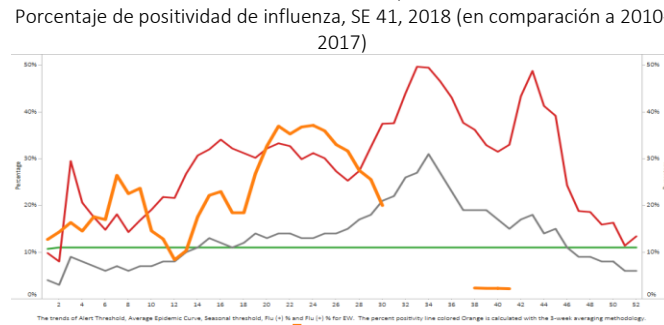
- During EW 40, at national level, SARI case counts among all hospitalizations decreased compared to previous weeks and remained higher than the 2015-2017 seasons for the same period (Graph 4). In EW 41, influenza activity decreased below the alert threshold, with influenza B circulating in recent weeks (Graph 1,3). RSV positivity slightly increased, as compared to the previous weeks and was lower than levels observed in 2017 for the same period (Graph 2). During SE 40, at the national level, ARI case counts among the under 5 years of age population slightly decreased and were similar to the levels observed in 2016-2017 for the same period (Graph 5). However, the pneumonia case counts in infants under 5 years of age decreased and continued slightly higher than the counts reported in 2016-2017 for the same period (Graph 6). During EW 41, 16 departments reported pneumonia cumulative cases among the under 5 years of age children higher than the median of the 2013-2017 seasons for the same period: Amazonas, Ancash, Apurimac, Arequipa, Ayacucho, Callao, Cusco, Huanuco, La Libertad, Lima, Madre de Dios, Moquegua, Pasco, Puno, Tacna, and Ucayali*. En la SE 40, a nivel nacional, el número de casos de IRAG entre el total de hospitalizaciones disminuyó respecto a las semanas previas y se mantuvo superior a lo observado en las temporadas 2015-2017 para el mismo período (Gráfico 4). Durante la SE 41, la actividad de influenza se ubicó bajo el nivel de alerta, con circulación de influenza B en semanas previas (Gráficos 1,3). La positividad de VSR aumentó ligeramente, en comparación con las semanas anteriores y fue menor a los niveles observados en 2017 para el mismo período (Gráfico 2). Durante la SE 40, a nivel nacional, el recuento de casos de IRA en la población de menores de 5 años disminuyó ligeramente y fue similar a los niveles observados en 2016-2017 para el mismo período (Gráfico 5). Sin embargo, el recuento de casos de neumonía en niños menores de 5 años disminuyó y continuó ligeramente superior a los niveles reportados en 2016-2017 para el mismo período (Gráfico 6). Durante la SE 41, 16 departamentos reportaron recuento de casos de neumonía en niños menores de 5 años superior a la mediana de las temporadas 2013-2017 para el mismo período: Amazonas, Ancash, Apurimac, Arequipa, Ayacucho, Callao, Cusco, Huanuco, La Libertad, Lima, Madre de Dios, Moquegua, Pasco, Puno, Tacna, y Ucayali*

*Online report/ informe de linea

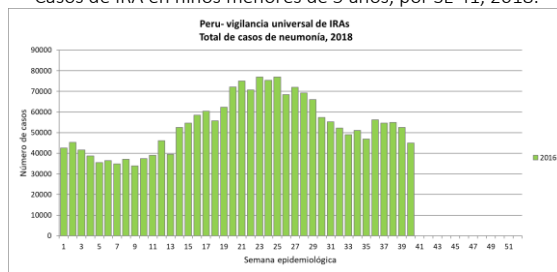
Graph 1. Peru: Influenza virus distribution by EW 41, 2014-18
Distribución de virus influenza por SE 41, 2014-18



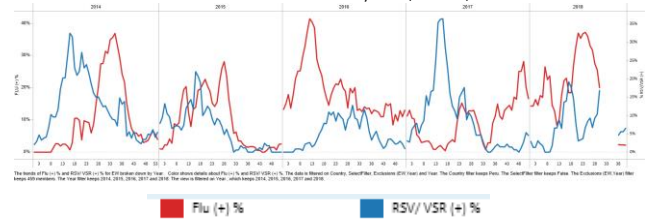
Graph 3. Perú: Percent positivity for influenza, EW 41, 2018 (in comparision to 2010-2017)
Porcentaje de positividad de influenza, SE 41, 2018 (en comparación a 2010-2017)



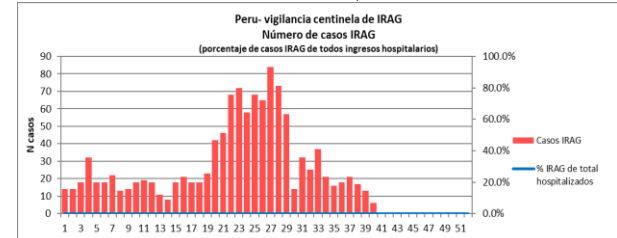
Graph 5. Peru. ARI cases in children under 5 years, by EW 41, 2018
Casos de IRA en niños menores de 5 años, por SE 41, 2018.



Graph 2. Peru: Influenza and RSV distribution, EW 41, 2014-18
Distribución de virus influenza y VSR, SE 41, 2014-18



Graph 4. Peru: Number of SARI cases, by EW 41, 2018
Número de casos IRAG, por SE 41, 2018



Graph 6. Peru: Pneumonia cases in children under 5 years, by EW 41, 2018
Casos de neumonía en niños menores de 5 años, por SE 41, 2018

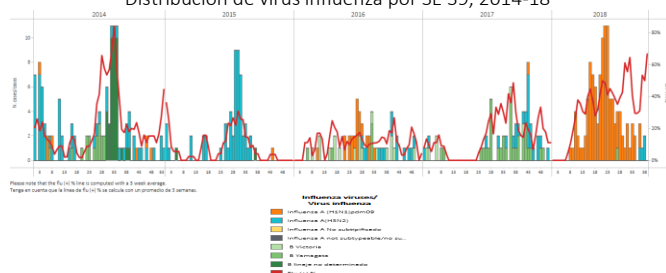


*To view more epi data, view [here](#). / Para ver mas datos epi, vea [aquí](#).

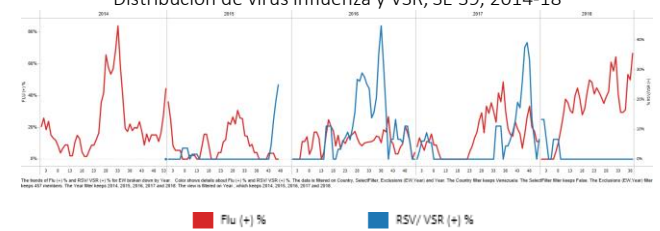
Venezuela

- During EW 39, influenza activity increased with influenza A(H1N1)pdm09 predominating, and few detections of influenza A(H3N2) (Graph 1, 2). Up to EW 39, no RSV detections were reported. / En la SE 39, la actividad de influenza aumentó con predominio de influenza A(H1N1)pdm09, y escasas detecciones de influenza A(H3N2) (Gráficos 1, 2). A la SE 39, no se reportaron detecciones por VSR (Gráfico 2).

Graph 1. Venezuela: Influenza virus distribution by EW 39, 2014-18
Distribución de virus influenza por SE 39, 2014-18



Graph 2. Venezuela: Influenza and RSV distribution, EW 39, 2014-18
Distribución de virus influenza y VSR, SE 39, 2014-18

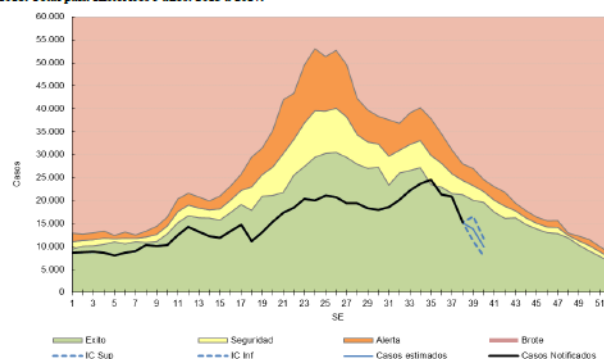


Argentina

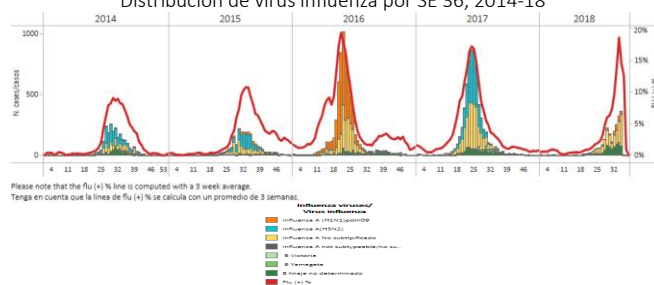
- During EW 37, at national level, the number of SARI cases was lower than previous weeks and at the alert threshold (Graph 2, 6). ILI activity was low for the period (Graph 1). During EW 36, influenza activity decreased as compared with the previous weeks with overall few samples tested, and influenza B and A(H1N1)pdm09 co-circulating (Graphs 3, 5). RSV positivity decreased and was similar to the levels reported during the previous season for the same period (Graph 4). During EW 40, 2018, 73 influenza-associated deaths were reported, lower than the levels observed during the 2016-2017 seasons for the same period (Graph 7), mostly among the 45 years of age population and older and with risk factors (70%). / En la SE 37, a nivel nacional los casos de IRAG fueron menores a las semanas previas y estuvieron en el umbral de alerta (Gráfico 2 y 6). La actividad de ETI fue baja para el período (Gráfico 1). Durante la SE 36, la actividad de influenza disminuyó en comparación con semanas previas, con recuento bajo de muestras estudiadas, y co-circulación de influenza B y A(H1N1)pdm09 (Gráficos 3, 5). El porcentaje de positividad para VSR disminuyó y fue similar a lo registrado en la temporada previa para el mismo período (Gráficos 4). Durante la SE 40 de 2018, se reportaron 73 fallecidos asociados a influenza, menor a los niveles observados durante las temporadas 2016-2017 para el mismo período (Gráfico 7), en su mayoría entre la población de 45 años de edad y más, y con factores de riesgo (70%).

Graph 1. Argentina. ILI cases. Endemic channel, EW 37, 2018 (compared to 2013-2017) / Casos de ETI. Corredor endémico, SE 37, 2018 (en comparación a 2013-2017)

Gráfico 1 - Argentina: Corredor endémico semanal de ETI 2018. Curva de casos y estimaciones hasta la SE40 de 2018. Total país. Históricos 5 años: 2013 a 2017.

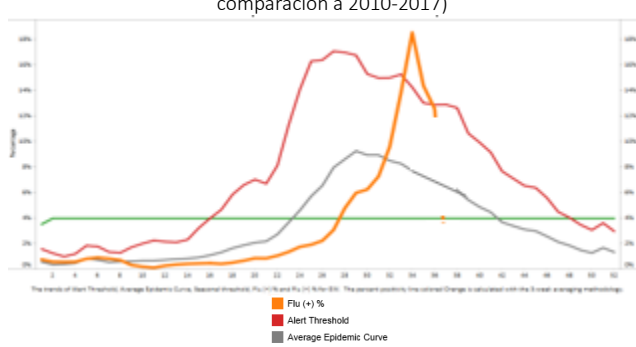


Graph 3. Argentina. Influenza virus distribution by EW 36, 2014-18
Distribución de virus influenza por SE 36, 2014-18



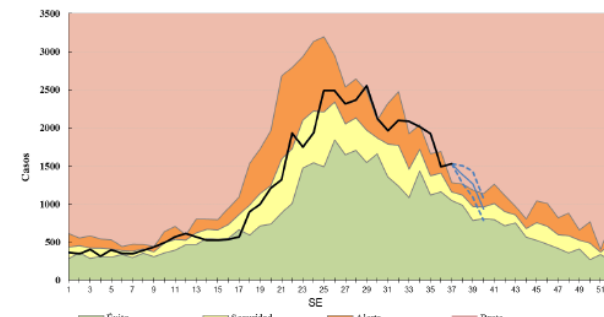
Graph 5. Argentina: Baseline for the percent positivity for influenza, EW 36, 2018 (in comparison to 2010-2017)

Línea basal para el porcentaje de positividad de influenza, SE 36, 2018 (en comparación a 2010-2017)



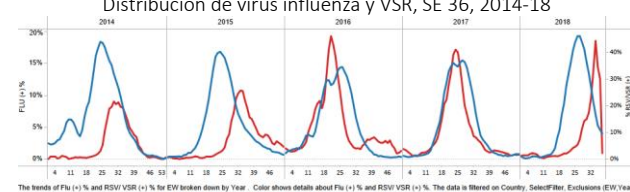
Graph 2. Argentina. SARI cases. Endemic channel, EW 37, 2018 (compared to 2013-2017) / Casos de IRAG. Corredor endémico, SE 37, 2018 (en comparación a 2013-2017)

Gráfico 7. Argentina: Corredor endémico semanal de IRAG. Curva de 2018 hasta SE40 de 2018. Históricos 5 años: 2013 a 2017.



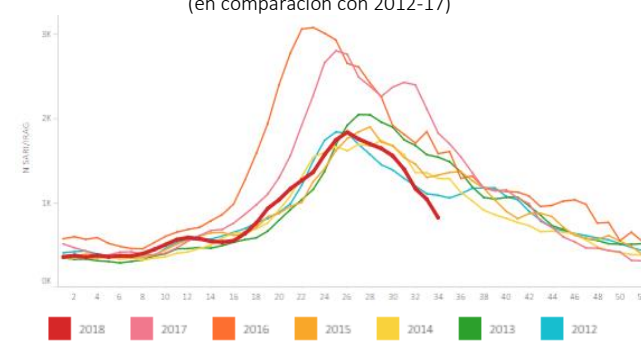
Fuente: Elaboración propia del Área de Vigilancia de la Salud de la Dirección de Epidemiología en base a información proveniente del Sistema Nacional de Vigilancia de la Salud (SNTS) C2.

Graph 4. Argentina: Influenza and RSV distribution, EW 36, 2014-18
Distribución de virus influenza y VSR, SE 36, 2014-18



Graph 6. Argentina: Number of SARI cases out of all hospitalizations, by EW 34, 2018 (in comparison with 2012-17)

Número de casos IRAG de todas las hospitalizaciones, por SE 34, 2018 (en comparación con 2012-17)

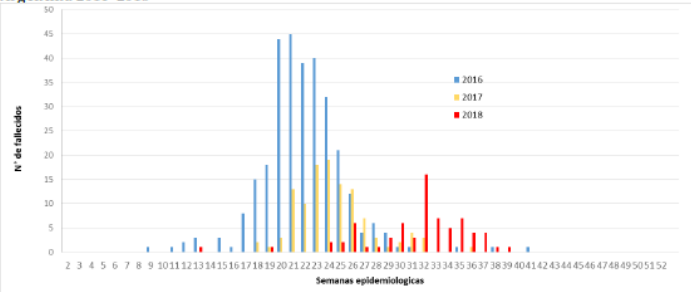


Graph 7. Argentina: Number of influenza-associated deaths by EW 40, 2018 (in comparison with 2016-17) /

Número de fallecidos asociados a influenza por SE 40, 2018 (en comparación con 2016-2017)

Gráfico N°2: Casos fallecidos con diagnóstico de Influenza por semana epidemiológica.

Argentina 2016-2018



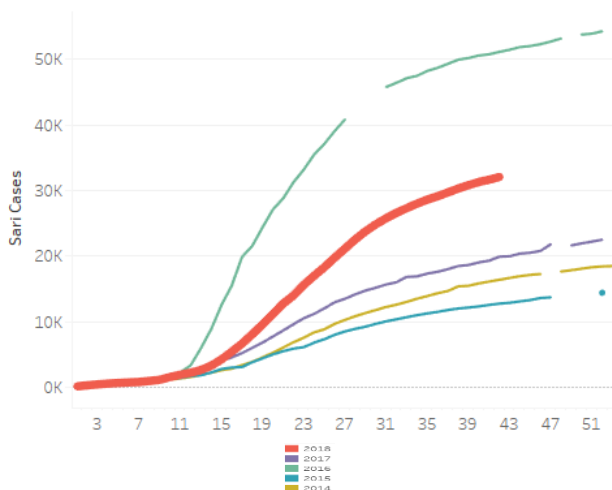
Fuente: SNVS y Direcciones de epidemiología provinciales.

Brazil

- In Brazil, during EW 42, cumulative SARI hospitalizations and deaths increased and were lower than in 2016 but higher than the other seasons for the same period (Graphs 1,2). During EW 42, the SARI case counts out of all hospitalizations were lower than in previous weeks and the 2015–2017 seasons (Graph 10). The cumulative number of influenza-associated SARI cases and SARI deaths were higher than the counts reported in 2017 and less than in 2016 (Graph 3, 4). During EW 42, a slight decrease in the detection of influenza positive cases was reported by the three NICs, with influenza A (H1N1)pdm09 and (H3N2) co-circulating, and some influenza B detections reported; RSV detections decreased in recent weeks (Graph 5-9). During EW 42, 11 states reported higher cumulative influenza-associated SARI/ILI case counts than the historic average 2014-2017 (>1 standard deviation above): Alagoas, Bahia, Ceará, Goiás, Maranhao, Paraíba, Pernambuco, Piauí, Rio Grande do Norte, Sergipe and Tocantins (Graph 11). In EW 42, 10 states reported higher cumulative influenza-associated SARI/ILI deaths counts than the historic average 2014-2017 (>1 standard deviation above): Bahia, Ceará, Goiás, Maranhao, Paraíba, Pernambuco, Piauí, Rio Grande do Norte, Sergipe and Tocantins (Graph 12). / En Brasil, en la SE 42, las hospitalizaciones y los casos fallecidos por IRAG acumulados aumentaron y fueron menores que en 2016 pero superiores a las restantes temporadas para el mismo período (Gráficos 1, 2). Durante la SE 42, el recuento de casos de IRAG sobre el total de hospitalizaciones fue menor que las semanas previas y las temporadas 2015-2017 para el mismo período (Gráfico 10). El número acumulado de casos de IRAG por influenza y de casos fallecidos asociados a influenza fueron superiores a los recuentos de 2017 y menores a los recuentos reportados en 2016 (Gráficos 3, 4). En la semana 42, se ha detectado un ligero descenso de los casos positivos de influenza reportados por los tres NICs, con co-circulación de influenza A(H1N1)pdm09 y A(H3N2), junto con algunas detecciones de B; las detecciones de VSR disminuyeron en las últimas semanas (Gráficos 5-9). Durante la SE 42, 11 estados reportaron elevados recuentos acumulados de IRAG/ETI asociados a influenza en comparación al promedio histórico 2014-2017 (>1 desviación estándar arriba): Alagoas, Bahía, Ceará, Goiás, Maranhao, Paraíba, Pernambuco, Piauí, Rio Grande do Norte, Sergipe y Tocantins (Gráfico 11). En la SE 42, 10 estados reportaron elevados recuentos acumulados de fallecidos por IRAG/ETI asociados a influenza en comparación al promedio histórico 2014-2017 (>1 desviación estándar arriba): Bahia, Ceará, Goiás, Maranhao, Paraíba, Pernambuco, Piauí, Rio Grande do Norte, Sergipe y Tocantins (Gráfico 12).

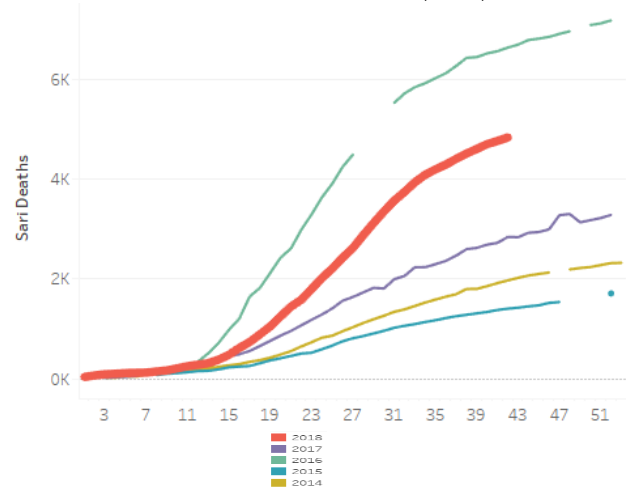
Graph 1. Brazil. Distribution of cumulative SARI-related cases, by EW 42, 2014-2018

Distribución de casos acumulados de IRAG, SE 42, 2014-2018

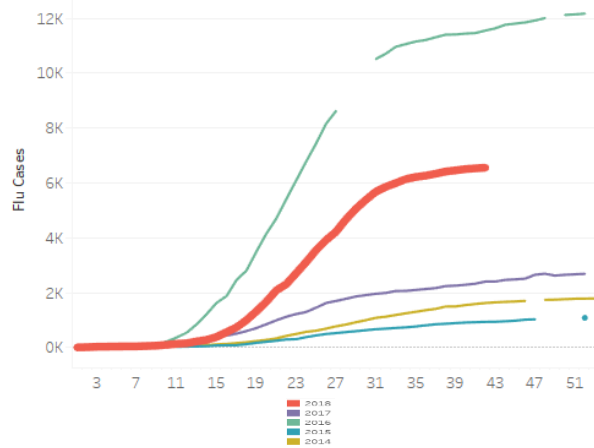


Graph 2. Brazil. Distribution of cumulative SARI-related deaths, by EW 42, 2014-2018

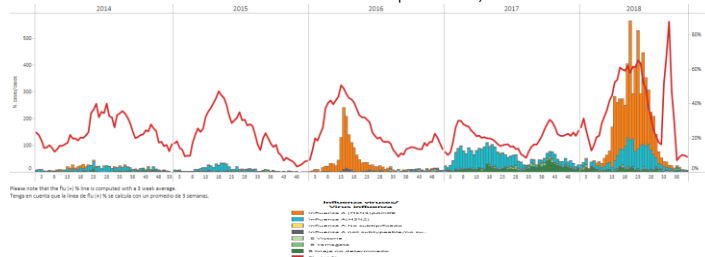
Distribución de fallecidos acumulados de IRAG, SE 42, 2014-2018



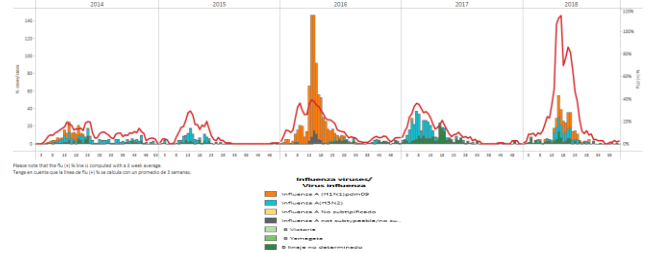
Graph 3. Brazil. Distribution of cumulative influenza-associated SARI-related cases, by EW 42, 2014-2018
Distribución de casos acumulados de IRAG asociados a influenza, SE 42, 2014-2018



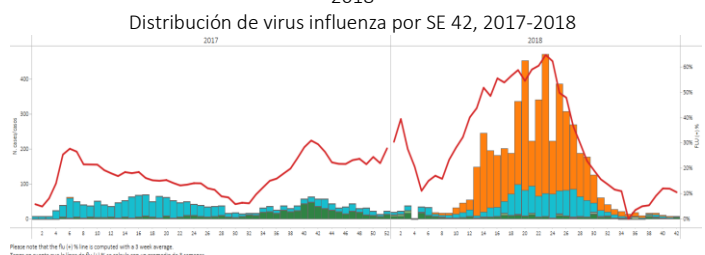
Graph 5. Brazil- All NICs. Influenza virus distribution by EW 42, 2014-2018
Distribución de virus influenza por SE 42, 2014-2018



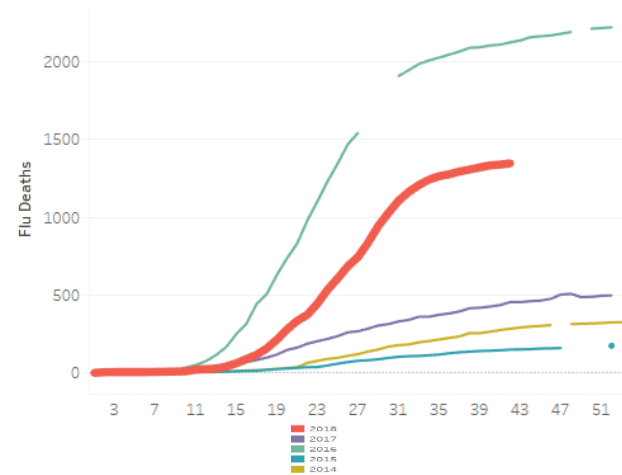
Graph 7. Brazil - NIC IEC. Influenza virus distribution by EW 42, 2014-2018
Distribución de virus influenza por SE 42, 2014-2018



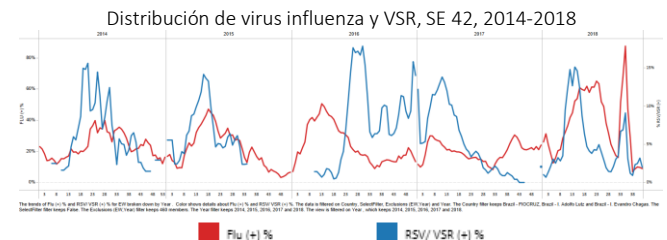
Graph 9. Brazil- NIC Adolfo Lutz. Influenza virus distribution by EW 42, 2017-2018
Distribución de virus influenza por SE 42, 2017-2018



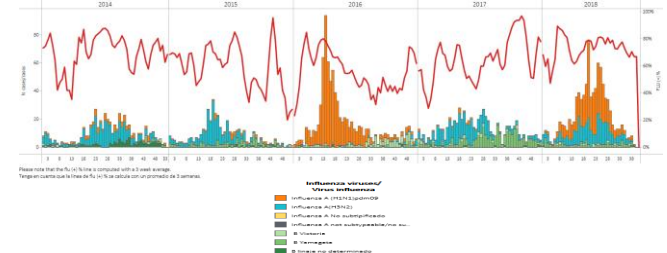
Graph 4. Brazil. Distribution of cumulative influenza-positive SARI-related deaths , by EW 42, 2014-2018
Distribución de fallecidos acumulados de IRAG positivos para influenza, SE 42, 2014-2018



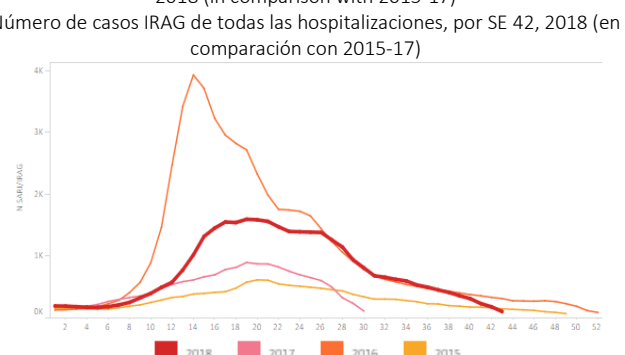
Graph 6. Brazil – All NICs: Influenza and RSV distribution, EW 42, 2014-2018
Distribución de virus influenza y VSR, SE 42, 2014-2018



Graph 8. Brazil- NIC FIOCRUZ. Influenza virus distribution by EW 41, 2014-2018
Distribución de virus influenza por SE 41, 2014-2018



Graph 10. Brazil: Number of SARI cases out of all hospitalizations, by EW 42, 2018 (in comparison with 2015-17)
Número de casos IRAG de todas las hospitalizaciones, por SE 42, 2018 (en comparación con 2015-17)

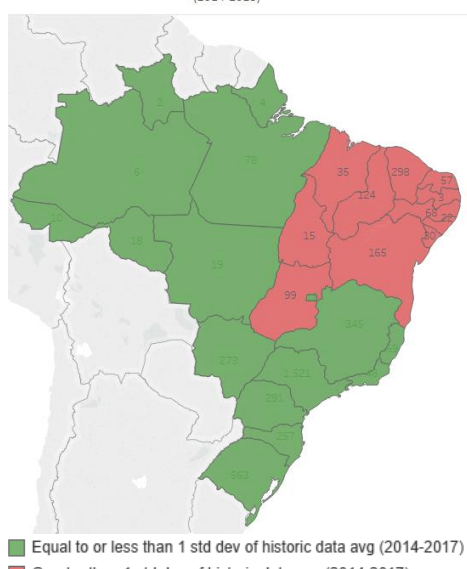


Graph 11. Brazil: Cumulative counts of influenza-associated SARI cases greater than historic average, EW 42 (2014-2018)

Recuentos acumulados de casos de IRAG asociados a influenza mayor al promedio histórico, SE 42 (2014-2018)

Brazil SARI Flu Cases, as of EW 42, 2018

(2014-2018)

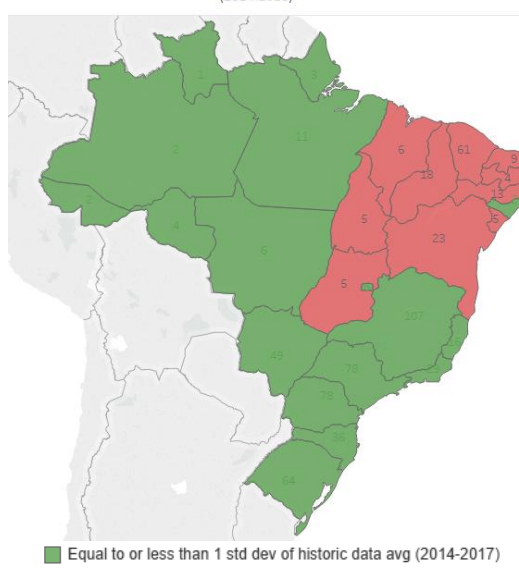


Graph 12. Brazil: Cumulative count of influenza-associated SARI deaths greater than historic average, EW 42 (2014-2018)

Recuentos acumulados de fallecidos por IRAG asociados a influenza mayor al promedio histórico, SE 42 (2014-2018)

Brazil SARI Flu Deaths, as of EW 42, 2018

(2014-2018)



Chile

- During EW 42, at national level, the SARI cases slightly decreased from the previous weeks and remained above the alert threshold levels observed during 2015-2017 for the same period (Graph 4); while ILI activity continued at the average epidemic curve (Graph 5). In EW 42, influenza activity slightly decreased and remained at the historic average, with influenza A(H3N2) and B co-circulating (Graphs 1,3). RSV percent positivity peaked in EW 29 with a downward slope in EW 42, similar to the levels reported in 2017 for the same period (Graph 2). / Durante la SE 42, a nivel nacional, los casos de IRAG disminuyeron ligeramente respecto a las semanas previas y permanecieron sobre los niveles del umbral de alerta observados durante 2015-2017 para el mismo período (Gráfico 4), mientras que la actividad de ETI continuó en la curva epidémica promedio (Gráfico 5). En la SE 41, la actividad de influenza disminuyó ligeramente y permaneció en el promedio histórico, con co-circulación de influenza A(H3N2) y B (Gráficos 1, 3). El porcentaje de positividad de VSR presentó su pico en la SE 29 con una pendiente en descenso en SE 42, similar a los niveles reportados en 2017 para el mismo período (Gráfico 2).

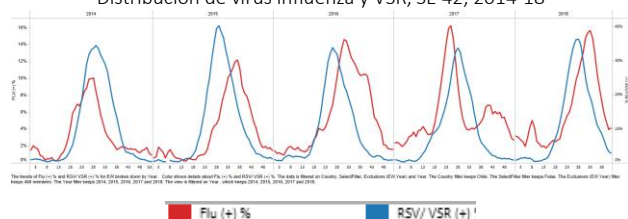
Graph 1. Chile: Influenza virus distribution by EW 42, 2014-18

Distribución de virus de influenza, por SE 42, 2014-18



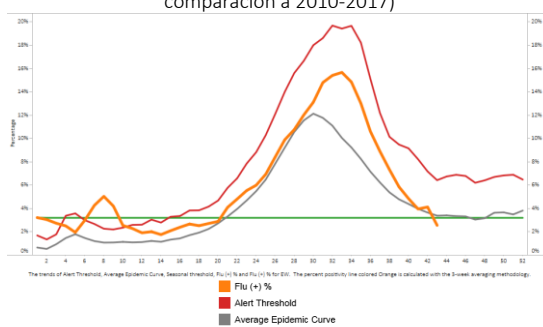
Graph 2. Chile: Influenza and RSV distribution, EW 42, 2014-18

Distribución de virus influenza y VSR, SE 42, 2014-18



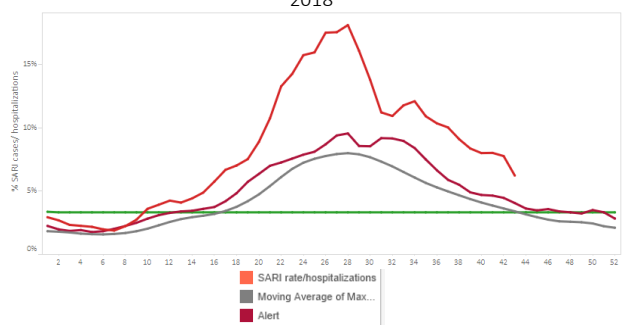
Graph 3. Chile: Baseline for the percent positivity for influenza, EW 42, 2018 (in comparision to 2010-2017)

Línea basal para el porcentaje de positividad de influenza, SE 42, 2018 (en comparación a 2010-2017)

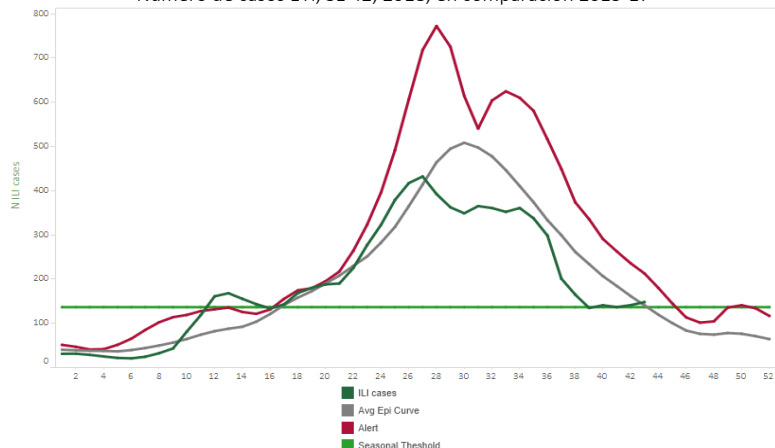


Graph 4. Chile. Percent of SARI cases from all hospitalizations, EW 42, 2015-2018,

Porcentaje de casos IRAG por las hospitalizaciones totales, SE 42, 2015-2018



Graph 5. Chile. Number of ILI cases, EW 42, 2018, in comparison 2015-17
Número de casos ETI, SE 42, 2018, en comparación 2015-17

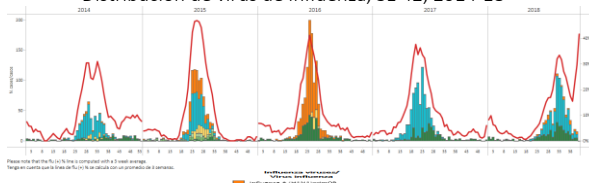


*To view more epi data, view [here](#). / Para ver mas datos epi, vea [aquí](#).

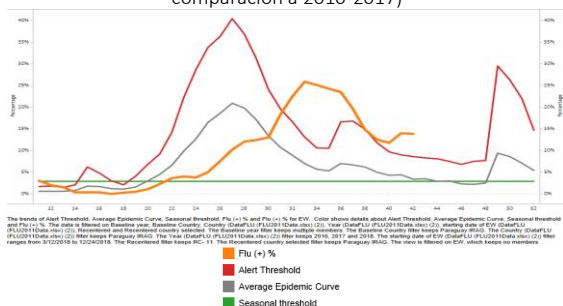
Paraguay

- During EW 42, at national level, the SARI cases slightly decreased from the previous weeks and continued above the alert threshold (Graph 5), with a predominance among the under 5 and above 60 years of age population. In EW 42, the percent of SARI deaths out of total deaths slightly increased (Graph 6) with 70% of associated comorbidities and among the 60 years of age and older. A total of 43 influenza-associated SARI deaths were reported during 2018, slightly higher than the levels observed in the previous season for the same period (34 cases). ILI activity slightly decreased above the seasonal levels and peaked later than in the previous 2016-2017 seasons (Graph 4). In EW 42, influenza activity increased from the previous weeks with detections of influenza A(H3N2), A(H1N1)pdm09 and B (Graphs 1, 3); while RSV positivity increased in the prior week (Graph 2). / Durante la SE 42, a nivel nacional, los casos de IRAG disminuyeron ligeramente con respecto a las semanas previas y estuvieron por encima del umbral de alerta (Gráfico 5), con predominio entre la población menor de 5 años y mayor de 60 años. En la SE 42, el porcentaje de muertes por IRAG del total de muertes aumentó ligeramente (Gráfico 6) con 70% de comorbilidades asociadas y entre los mayores de 60 años. Durante 2018 se informó un total de 43 muertes por IRAG asociadas a influenza, ligeramente superiores a los niveles observados en la temporada anterior para el mismo período (34 casos). La actividad de ETI disminuyó ligeramente por encima de los niveles estacionales y alcanzó su punto máximo más tarde que en temporadas anteriores de 2016-2017 (Gráfico 4). En la SE 42, la actividad de influenza aumentó respecto a las semanas previas con detecciones de influenza A(H3N2), A(H1N1)pdm09 y B (Gráficos 1, 3); mientras que la positividad de VSR aumentó en la última semana (Gráfico 2).

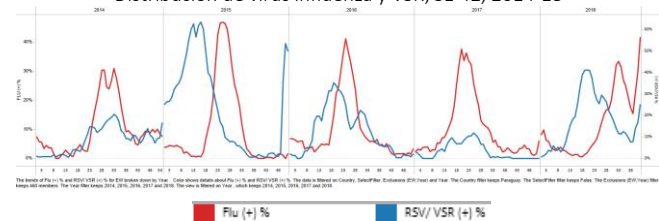
Graph 1. Paraguay: Influenza virus distribution EW 42, 2014-18
Distribución de virus de influenza, SE 42, 2014-18



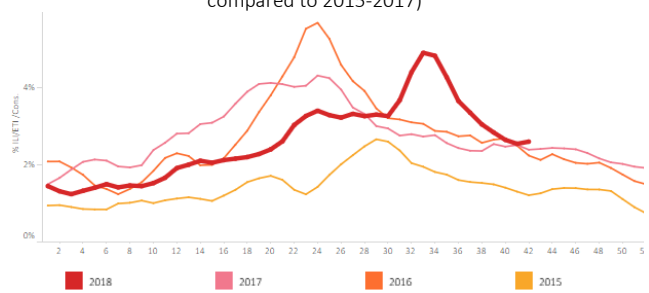
Graph 3. Paraguay SARI sentinel sites: Baseline for the percent positivity for influenza, EW 42, 2018 (in comparision to 2010-2017)
Línea basal para el porcentaje de positividad de influenza, SE 42, 2018 (en comparación a 2010-2017)



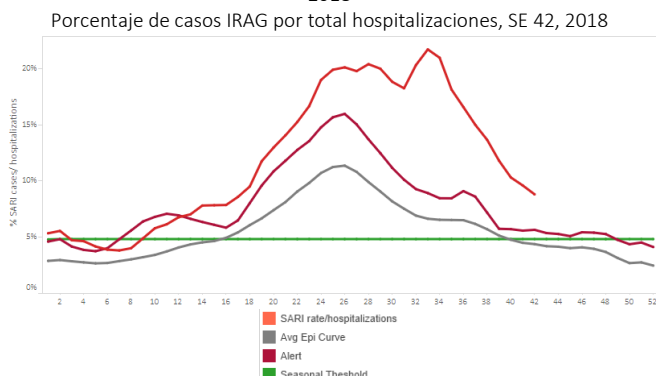
Graph 2. Paraguay: Influenza and RSV distribution, EW 42, 2014-18
Distribución de virus influenza y VSR, SE 42, 2014-18



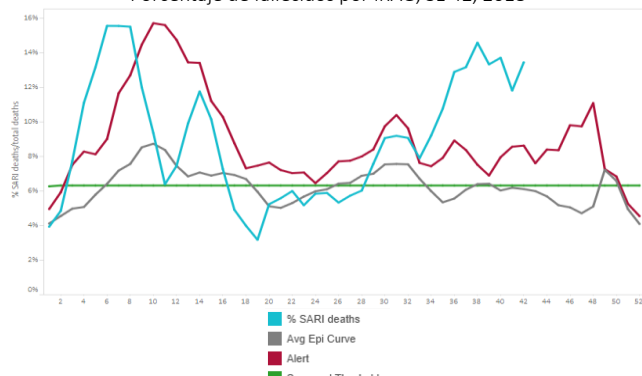
Graph 4. Paraguay: Proportion of ILI consultations, EW 42, 2018 (as compared to 2015-2017)



Graph 5. Paraguay: Percent of SARI cases per total hospitalizations, EW 42, 2018
Porcentaje de casos IRAG por total hospitalizaciones, SE 42, 2018



Graph 6. Paraguay: Percent of SARI deaths per total deaths, EW 42, 2018.
Porcentaje de fallecidos por IRAG, SE 42, 2018

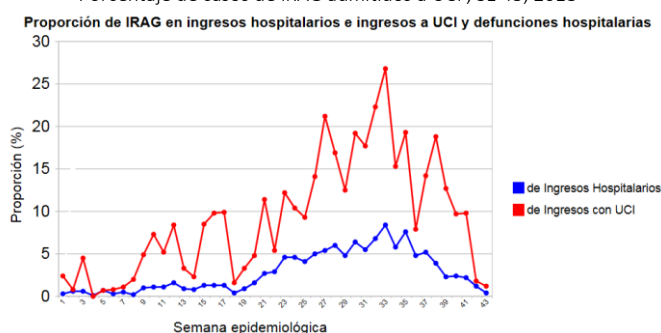


*To view more epi data, view [here](#). / Para ver mas datos epi, vea [aquí](#).

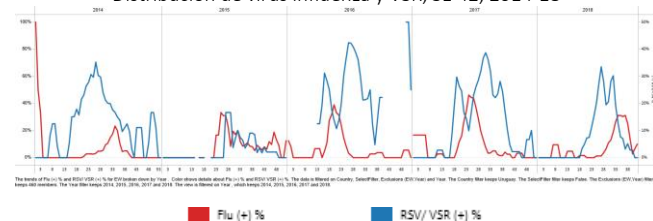
Uruguay

- In EW 42, increased influenza activity was reported (Graphs 3, 4); with decreased RSV positivity (Graph 2). During EW 41 to 43, the proportion of SARI cases among all hospitalizations, the proportion of SARI case requiring ICU admission and the proportion of SARI-associated cases decreased from previous weeks (Graph 1, 5). During EW 40, 2018, the cumulative influenza-positive SARI cases that required ICU (21) were similar to the previous season, while there was no influenza-positive SARI-associated death reported, as compared to the previous season (with 2 influenza-positive SARI deaths). Likewise, all the SARI deaths and 34% of the SARI cases requiring UCI, reported at least one risk factor. / Durante la SE 42, se reportó mayor actividad de influenza (Gráficos 3, 4); con positividad de VSR disminuída (Gráfico 2). Durante las SE 41 a 43, la proporción de casos de IRAG del total de hospitalizaciones, la proporción de casos de IRAG con admisión a UCI y la proporción de fallecidos por IRAG disminuyeron en relación a las semanas anteriores (Gráfico 1). Durante la SE 40 de 2018, los casos acumulados de IRAG positivos para influenza que requirieron UCI (21) fueron similares a la temporada previa, en tanto no se reportó ningún fallecido por IRAG positivo para influenza, en comparación a la temporada anterior (con dos fallecidos por IRAG positivos para influenza). Así mismo, todos los fallecidos por IRAG y 34% de los casos de IRAG que requirieron UCI, reportaron al menos un factor de riesgo.

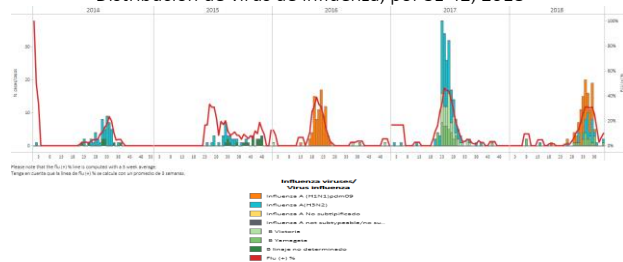
Graph 1. Uruguay: % SARI cases requiring ICU admission, EW 43, 2018;
Porcentaje de casos de IRAG admitidos a UCI , SE 43, 2018



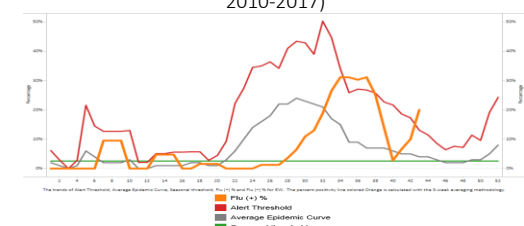
Graph 2. Uruguay: Influenza and RSV distribution, EW 42, 2014-18
Distribución de virus influenza y VSR, SE 42, 2014-18



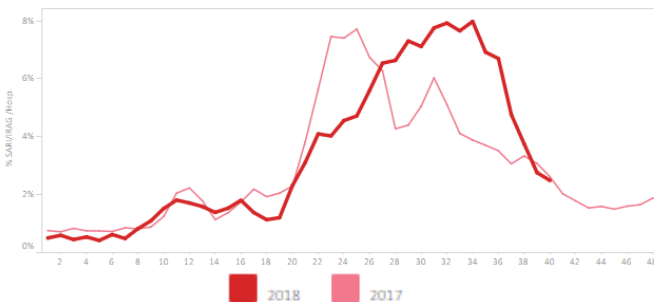
Graph 3. Uruguay: Influenza virus distribution by EW 42, 2018
Distribución de virus de influenza, por SE 42, 2018



Graph 4. Uruguay: Percent positivity for influenza, EW 42, 2018 (in comparision to 2010-2017)
Porcentaje de positividad de influenza, SE 42, 2018 (en comparación a 2010-2017)



Graph 5. Paraguay: Percent of SARI cases per total hospitalizations, EW 41, 2017-2018
Porcentaje de casos IRAG por total hospitalizaciones, SE 41, 2017-2018



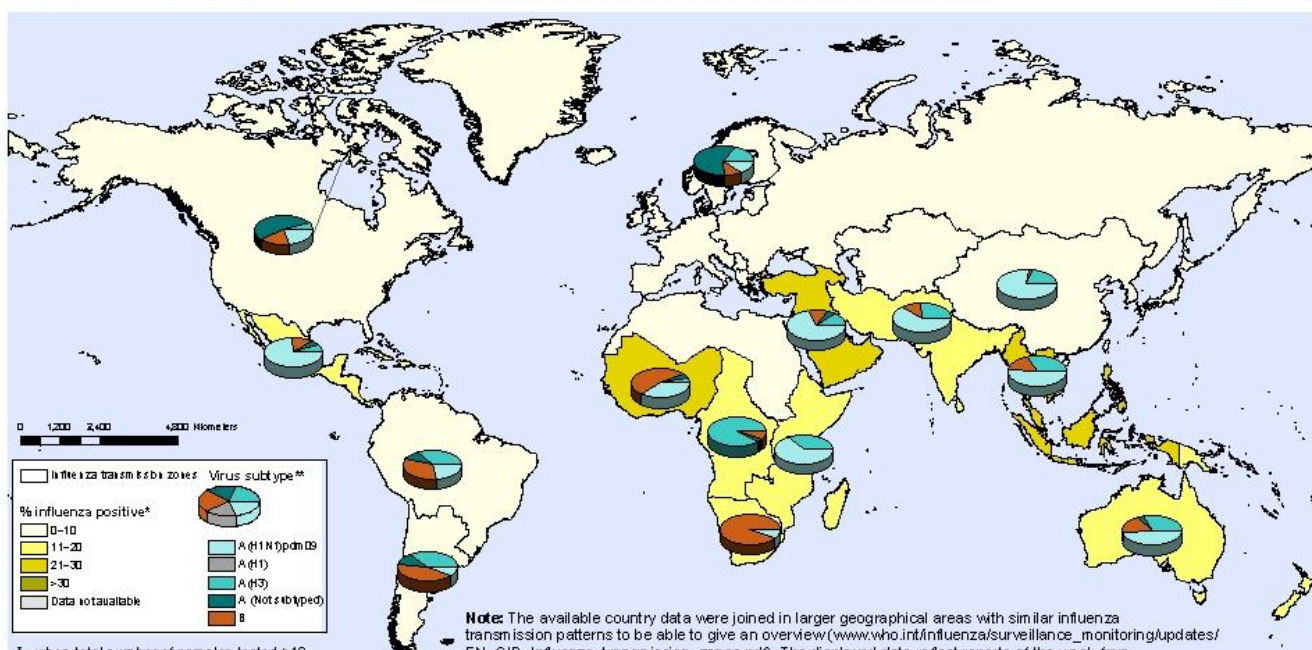
*To view more epi data, view [here](#). / Para ver mas datos epi, vea [aquí](#).

In the temperate zone of the northern hemisphere influenza activity remained at inter-seasonal levels. Increased influenza detections were reported in some countries of Southern and South-East Asia. In the temperate zones of the southern hemisphere, influenza activity appeared to decrease overall. Worldwide, seasonal influenza subtype A viruses accounted for the majority of detections. / En la zona templada del hemisferio norte, la actividad de influenza se mantuvo en niveles interestacionales. En algunos países de Asia meridional y sudoriental se notificó un aumento de las detecciones de influenza. En las zonas templadas del hemisferio sur, la actividad de influenza pareció disminuir en general. En todo el mundo, los virus de subtipo A de influenza estacional representaron la mayoría de las detecciones.

National Influenza Centres (NICs) and other national influenza laboratories from 114 countries, areas or territories reported data to FluNet for the time period from 1 October to 14 October 2018. The WHO GISRS laboratories tested more than 89996 specimens during that time period. 2890 were positive for influenza viruses, of which 2432 (84.2%) were typed as influenza A and 458 (15.8%) as influenza B. Of the sub-typed influenza A viruses, 1559 (80.1%) were influenza A(H1N1)pdm09 and 387 (19.9%) were influenza A(H3N2). Of the characterized B viruses, 67 (62%) belonged to the B-Yamagata lineage and 41 (38%) to the B-Victoria lineage. / Los Centros Nacionales de Influenza (NICs) y otros laboratorios nacionales de influenza de 114 países, áreas o territorios, reportaron datos a FluNet en el período del 1 de octubre al 14 de octubre de 2018. Los laboratorios de la OMS GISRS realizaron pruebas a más de 89996 muestras durante ese período. 2890 tuvieron resultado positivo para virus influenza, de los cuales 2432 (84,2%) fueron tipificados como influenza A y 458 (15,8%) como influenza B. De los virus influenza A subtipificados, 1559 (80,1%) fueron influenza A(H1N1)pdm09 y 387 (19,9%) fueron influenza A(H3N2). De los virus influenza B caracterizados, 67 (62%) fueron del linaje B-Yamagata y 41 (38%) fueron del linaje B-Victoria.

Percentage of respiratory specimens that tested positive for influenza By influenza transmission zone

Status as of 26 October 2018



The boundaries and names shown and the designations used on this map do not imply the expression of any opinion whatsoever on the part of the World Health Organization concerning the legal status of any country, territory, city or area or its authorities, or concerning the delimitation of its frontiers or boundaries. Dotted and dashed lines on maps represent approximate border lines for which there may not yet be full agreement.

Data Source:
 Global Influenza Surveillance and Response System (GISRS),
 FluNet (www.who.int/FluNet)



ACRONYMS

| | |
|-----------------|---|
| ARI | Acute Respiratory Infection |
| CARPHA | Caribbean Public Health Agency |
| CENETROP | Centro de Enfermedades Tropicales (Santa Cruz, Bolivia) |
| EW | Epidemiological Week |
| ILI | Influenza-like illness |
| INLASA | Instituto Nacional de Laboratorios de Salud (La Paz, Bolivia) |
| INS | Instituto Nacional de Salud |
| ORV | Other respiratory viruses |
| SARI | Severe acute respiratory infection |
| SEDES | Servicio Departamental de Salud (Bolivia) |
| ICU | Intensive Care Unit |
| RSV | Respiratory Syncytial Virus |

ACRÓNIMOS

| | |
|-----------------|--|
| CARPHA | Agencia de Salud Pública del Caribe/Caribbean Public Health Agency |
| CENETROP | Centro de Enfermedades Tropicales (Santa Cruz, Bolivia) |
| ETI | Enfermedad Tipo influenza |
| INLASA | Instituto Nacional de Laboratorios de Salud (La Paz, Bolivia) |
| INS | Instituto Nacional de Salud |
| IRA | Infección Respiratoria Aguda |
| IRAG | Infección Respiratoria Aguda grave |
| OVR | Otros virus respiratorios |
| SE | Semana epidemiológica |
| SEDES | Servicio Departamental de Salud (Bolivia) |
| UCI | Unidad de Cuidados Intensivos |
| VSR | Virus Sincitrial Respiratorio |